



Facultatea de Automatică și Calculatoare

Programul de Licență: Calculatoare și Tehnologia Informației



REȚELE NEURONALE DE CONVOLUȚIE CU VALORI COMPLEXE ANTRENATE PE GPU

Proiect de diplomă

Andrei-Florin DUMA

Conducător științific:

As. dr. ing. Călin-Adrian POPA

Timișoara,

2016

Cuprins

1	Introducere	4
1.1	Contextul general	4
1.2	Motivația	5
1.3	Descrierea proiectului	7
2	Fundamentare teoretică	8
2.1	Rețele neuronale multistrat cu valori complexe	8
2.2	Rețele neuronale de convoluție cu valori complexe	14
3	Specificațiile proiectului	19
4	Proiectare și implementare	21
4.1	Programarea pe GPU	21
4.1.1	CUDA C	24
4.1.2	Kernel-uri	25
4.1.3	Ierarhia de memorie	26
4.1.4	Biblioteca cuBLAS	28
4.1.5	Biblioteca cuComplex	29
4.2	Soluția propusă	31
4.2.1	Funcții și kernel-uri	33
5	Rezultate experimentale	39
6	Concluzii	43
	Bibliografie	43

Rezumat

Obiectivul acestui proiect este implementarea unei rețele neuronale de convoluție cu valori complexe, folosind calculul paralel pe procesoare grafice, mai exact NVIDIA CUDA C. În ultimii ani, domeniul rețelelor neuronale cu valori complexe a cunoscut un interes crescând, mai ales datorită spectrului larg de aplicații, pornind de la procesarea semnalelor și până la procesarea imaginilor. De asemenea, rețelele neuronale de convoluție dețin cele mai bune rezultate la ora actuală în practic toate aplicațiile specifice recunoașterii de imagini. Proiectul are ca scop valorificarea puterii procesoarelor grafice (GPU-uri) pentru a crea o rețea de neuronală de convoluție capabilă să proceseze date cu valori complexe. Aplicațiile posibile ale acestui tip de rețea includ probleme de recunoaștere a imaginilor cum ar fi SAR (Synthetic Aperture Radar) și fMRI (functional Magnetic Resonance Imaging), în care imaginile sunt nativ date de către instrumentele de măsurare în formă complexă, iar metoda actuală de a rezolva astfel de probleme este prin transformarea lor în domeniul real, pierzând astfel structura complexă a datelor. Experimente realizate pe cunoscuta bază de date MNIST au relevat o eroare de 0.90% a rețelelor de convoluție cu valori complexe, față de o eroare de 1.22% a rețelelor de convoluție cu valori reale.

Capitolul 1

Introducere

1.1 Contextul general

Rețelele neuronale cu valori complexe, pentru care intrările, ieșirile și ponderile sunt numere complexe, au cunoscut un interes crescând în ultimii ani. Ele au fost introduse pentru prima dată în [1], unde valorile binare 0 și 1 au fost extinse la mai multe valori situate pe cercul unitate din planul complex. Apoi, în [40] a fost propus algoritmul celor mai mici pătrate complex (complex least mean squares, CMLS). În anii 1991 și 1992, au fost prezentate metoda gradient și algoritmul backpropagation de învățare, de către mai mulți cercetători în mod independent.

În 1991, [27] a considerat o rețea neuronală cu valori complexe care are o funcție de activare de tip sigmoid complexă complet $G(z) = \frac{1}{1+e^{-z}}$, și a dezvoltat algoritmul de învățare pentru o astfel de rețea folosind derivate parțiale ale părților reale și imaginare ale funcțiilor care apar în cadrul metodei gradient. În 1992, [7] a considerat o rețea neuronală cu valori complexe a cărei funcție de activare este de tip sigmoid complexă divizat $G(z) = \frac{1}{1+e^{-\operatorname{Re}z}} + i \frac{1}{1+e^{-\operatorname{Im}z}}$, $i = \sqrt{-1}$. Aceasta este una dintre cele mai simple extensii ale funcției de activare sigmoid din domeniul real. Avantajul ei este că putem de asemenea să obținem algoritmul backpropagation ca o simplă extensie a aceluiași algoritm de la rețelele neuronale cu valori reale.

În acest context, articolul [13] discută ce clasă de funcții de activare este cea mai potrivită, după ce face la început o analiză teoretică a funcțiilor de activare complexe divizat. Presupunând o implementare folosind circuite analogice, ei au propus o funcție a cărei amplitudine se saturează, câtă vreme faza rămâne neschimbată, și anume $G(z) = \frac{z}{c+|z|/r}$, unde c și r sunt parametri reali care determină caracteristica saturării. Luând în considerare semnalele sau undele din circuitele electronice, o astfel de funcție de activare reprezintă o alegere naturală. Tot în 1992, [19] a propus metoda gradient și algoritmul backpropagation pentru rețele neuronale cu valori complexe care au funcții de activare de tip amplitudine-fază, ca cea de mai sus, și a demonstrat eficiența lor. Ele au fost deduse folosind derivate parțiale în direcțiile amplitudinii și fazei, care sunt compatibile cu acest tip de funcție de activare.

După aceste începuturi, cercetarea în domeniu a luat un oarecare avânt. Se poate

demonstra că o rețea cu valori complexe nu este echivalentă cu o rețea cu valori reale de dimensiune dublă, datorită faptului că folosește înmulțirea în numere complexe. S-a arătat că aceste rețele au astfel o comportare diferită față de rețelele cu valori reale, deoarece, de exemplu, problema XOR și problema detecției simetriei nu pot fi rezolvate folosind un neuron real, în timp ce ele pot fi rezolvate cu succes folosind un neuron complex [30]. Aplicații populare ale rețelilor cu valori complexe includ proiectarea antenelor, estimarea direcției de sosire și de formare a undelor, imagistica radar, procesarea semnalelor în comunicații, procesarea imaginilor, și multe altele (pentru o prezentare detaliată, a se vedea [20]).

Pe de altă parte, rețelele neuronale de convoluție au devenit în zilele noastre cel mai de succes model pentru rezolvarea practic a tuturor problemelor legate de recunoașterea de imagini. Apărute inițial în varianta 1-dimensională, sub denumirea de rețele neuronale cu întârziere în timp, ele au fost folosite pentru recunoașterea vorbirii [39]. În prezent, modele care au pornit de la această idee, reușesc să obțină cele mai bune rezultate și în domeniul recunoașterii vorbirii [42].

Însă probabil cele mai importante și cunoscute aplicații sunt cele ale rețelilor de convoluție 2-dimensionale, proiectate să proceseze date în formă 2-dimensională, mai exact imagini reprezentate ca matrici de pixeli. Propuse pentru prima dată în [24] pentru recunoașterea cifrelor scrise de mână, au fost mai apoi aplicate pentru recunoașterea scrisului de mână în [25]. Deja în 1995, existau aplicații ale acestui tip de rețele în recunoașterea imaginilor, a vorbirii și a seriilor de timp [23]. Rețelele de convoluție reprezintă o particularizare a rețelilor clasice multistrat, în care înmulțirea matricilor este înlocuită cu convoluția și matricea ponderilor cu nuclee de convoluție care au o dimensiune mult mai mică decât cea a imaginilor primite la intrarea rețelei. Deși deja aveau multe aplicații în domeniul viziunii artificiale, [26], rețelele de convoluție au început să câștige în popularitate abia odată cu creșterea resurselor computaționale disponibile și cu implementarea lor folosind calculul paralel pe procesoare grafice (GPU).

Folosirea acestor resurse computaționale a permis scăderea timpilor de antrenare și de 100 de ori, ceea ce a dat naștere unor modele cu un număr din ce în ce mai mare de neuroni și de parametri, inaugurând astfel domeniul numit învățare adâncă (deep learning) [5, 6, 36, 14]. La baza acestui domeniu stau rețelele de convoluție, pentru care creșterea numărului de straturi se traduce într-o creștere a performanței, spre deosebire de rețelele multistrat, a căror performanță se degradează pentru un număr mare de straturi. Din același domeniu fac parte și alte modele de rețele, pentru care s-a dovedit matematic că performanța este direct proporțională cu mărimea modelului.

1.2 Motivația

Ideea introducerii rețelilor de convoluție cu valori complexe a pornit de la faptul că unele imagini sunt date de instrumentele de măsură direct în formă complexă, iar orice imagine poate fi transformată în planul complex folosind transformata Fourier [22].

Radarele cu apertură sintetică (Synthetic Aperture Radars – SAR) sunt sisteme de

imagistică care produc imagini cu valori complexe ale solului [12, 34, 9]. Acestea pot fi de tip interferometric (Interferometric Synthetic Aperture Radars – InSAR) [37] sau polarimetric (Polarimetric Synthetic Aperture Radars – PolSAR) [2, 15, 16]. Modele de rețele neuronale cu valori complexe au fost aplicate pentru reducerea zgomotului, compresia și recunoașterea acestor tipuri de imagini complexe. Până în prezent, există doar două încercări de recunoaștere a acestui tip de imagini direct în domeniul complex, una folosind rețele neuronale multistrat cu valori complexe, și una folosind o rețea de convoluție cu un singur strat de convoluție, dovedindu-se că ambele modele sunt mai potrivite acestei probleme decât rețelele neuronale cu valori reale, care ignoră dependențele între date existente în planul complex [15, 16]. Acest fapt a dus la ideea că rețelele neuronale de convoluție cu valori complexe adânci, cu multe straturi, implementate pe procesoare grafice, ar putea aduce un plus și mai mare de performanță în acest domeniu.

Un alt tip de radare care produc imagini pretabile a fi procesate în domeniul complex sunt radarele cu penetrare a solului (Ground Penetrating Radars – GPR). S-a dovedit că modelele de rețele cu valori complexe obțin rezultate superioare altor metode în detecția minelor antipersonal folosind imagini date de acest tip de radare [17, 29, 41]. Însă, până în prezent, aceste modele au fost de tip superficial (shallow), această problemă nefiind abordată folosind modelele adânci disponibile în cadrul paradigmei de învățare adâncă. Aceasta constituie o nouă motivație pentru introducerea rețelelor de convoluție cu valori complexe.

Imagistica folosind rezonanță magnetică funcțională (functional Magnetic Resonance Imaging – fMRI) colectează datele tot sub formă complexă, însă aproape toate studiile pe acest tip de imagistică folosesc doar amplitudinea datelor în analiză, ignorând informațiile de frecvență [21]. Rețele neuronale cu valori complexe s-au dovedit a avea performanțe superioare în reconstrucția și analiza unor astfel de imagini [21, 18]. Metode statistice de tip analiza componentelor independente în domeniul complex au fost de asemenea aplicate cu succes pentru aceste imagini [33, 28, 43]. Observațiile anterioare deschid posibilitatea aplicației rețelelor de convoluție cu valori complexe pentru recunoașterea diverselor tipare care pot apărea în aceste imagini, luând în considerare toate informațiile date de dispozitivele de imagistică, și nu ignorând informațiile de frecvență ca până în prezent.

Bazele domeniului învățării adânci cu valori complexe au fost puse abia în ultimii ani. Deși au existat aplicații ale rețelelor neuronale clasice în domeniul recunoașterii de imagini [31], și o rețea de convoluție simplă, cu un singur strat, a fost propusă în [16] pentru recunoașterea imaginilor date de radarele cu apertură sintetică polarimetrice (PolSAR), doar în ultimul timp au început să apară lucrări în care se discută algoritmi specifici învățării adânci folosind numere complexe. Astfel, în [4] sunt propuse autoencoder-ele cu valori complexe, care sunt un tip de model care face parte din această paradigmă. În [8] se propune o rețea de tip wavelet scattering, care folosește numere complexe, și explică proprietăți importante ale rețelelor neuronale de convoluție. Sincronicitatea neuronilor într-o rețea de tip Deep Boltzmann Machine (DBM) a fost discutată în [32], arătând existența unor performanțe superioare față de cazul real.

În fine, articole foarte recente discută modele recurente de rețele neuronale cu valori complexe [3], precum și capacitatea învățării de reprezentări ale seriilor de timp folosind rețele recurente cu valori complexe [35], ambele raportând rezultate asemănătoare sau superioare celor cu valori reale și existența unor proprietăți deosebite ale acestor rețele față de cele cu valori reale, ceea ce le face pretabile unor anumite tipuri de aplicații. Unul dintre cele mai importante articole în acest domeniu este [38], care aduce o motivare matematică a rețelor de convoluție cu valori complexe, arătând că ele pot fi văzute ca pachete multiwavelet nonliniare (nonlinear multiwavelet packets), făcând astfel disponibilă analiza matematică din domeniul procesării de semnale pentru formularea riguroasă a proprietăților rețelor neuronale de convoluție cu valori complexe. Urmare a acestui ultim articol, este de așteptat că domeniul învățării adânci cu valori complexe va lua amploare în următorii ani, tendință în care se înscrie și prezentul proiect.

1.3 Descrierea proiectului

Soluția propusă constă într-o aplicație software dezvoltată după modelul unei rețele neuronale de convoluție care, pornind de la un set de date de intrare extrase dintr-o imagine și stocate într-un fișier extern, va face posibilă antrenarea rețelei prin actualizarea parametrilor interni ai acesteia. Datele de intrare împreună cu rezultatele corespunzătoare acestora, care sunt cunoscute inițial, formează setul de antrenare al rețelei neuronale.

În timpul prelucrării, toate informațiile vor fi stocate în structuri de date care permit interpretarea lor ca fiind valori complexe. Sistemul software va permite configurarea parametrilor de funcționare (învățare) a rețelei pentru a se obține astfel rezultate optime și costuri minime care sunt caracterizate prin timpul de rulare al programului și memoria de stocare ocupată în timpul rulării.

Determinarea parametrilor de configurare optimi în funcție de contextul în care se aplică soluția este un pas important și se va face prin metode experimentale înainte de aplicarea propriu-zisă. Prin urmare se facilitează modificarea cu ușurință a tuturor valorilor configurabile și delimitarea acestora de implementarea în sine a rețelei pentru a face posibilă interpretarea acestora și a impactului pe care-l produce modificarea valorilor parametrilor configurabili.

Pentru interpretarea datelor și pentru aplicarea la acestea a parametrilor interni se utilizează module de calcul și operații matematice complexe. Executarea acestor operații pe o componentă GPU va spori atât rapiditatea cu care se efectuează cât și acuratețea rezultatelor, fiind posibilă împărțirea sarcinii între mai multe fire de execuție. Astfel se utilizează capacitatea de paralelism a procesoarelor grafice, caracteristică specializată a acestor unități de procesare.

Capitolul 2

Fundamentare teoretică

2.1 Rețele neuronale multistrat cu valori complexe

Mulțimea numerelor complexe este definită ca fiind

$$\mathbb{C} := \{x + iy \mid x, y \in \mathbb{R}, i = \sqrt{-1}\}.$$

Dacă $z = x + iy \in \mathbb{C}$, x se numește *partea reală* a numărului complex z , iar y se numește *partea imaginară* a lui z . Vom nota cu z^R partea reală a lui z și cu z^I partea imaginară a lui z , deci vom putea scrie

$$z = z^R + iz^I, \forall z \in \mathbb{C}.$$

Pentru orice $z_1 = x_1 + iy_1, z_2 = x_2 + iy_2 \in \mathbb{C}$, definim *adunarea* prin

$$z_1 + z_2 := (x_1 + x_2) + i(y_1 + y_2),$$

înmulțirea prin

$$z_1 \cdot z_2 := (x_1x_2 - y_1y_2) + i(x_1y_2 + x_2y_1),$$

inversul lui z_1 prin

$$z_1^{-1} := \frac{x_1}{x_1^2 + y_1^2} - i \frac{y_1}{x_1^2 + y_1^2},$$

conjugatul lui z_1 prin

$$\overline{z_1} := x_1 - iy_1,$$

și *modulul* lui z_1 prin

$$|z_1| := \sqrt{z_1 \overline{z_1}} = \sqrt{x_1^2 + y_1^2}.$$

Acum putem face o scurtă introducere în problematica funcțiilor definite pe mulțimea numerelor complexe. Fie $f : \mathbb{C} \rightarrow \mathbb{C}$ o funcție complexă cu valori complexe. Pornind de la identificarea $\mathbb{C} \simeq \mathbb{R}^2$, funcția f se poate scrie sub forma

$$f(x + iy) = u(x, y) + iv(x, y),$$

unde $u, v : \mathbb{R}^2 \rightarrow \mathbb{R}$ sunt funcții de două variabile reale cu valori reale.

Limita funcției f în punctul z_0 este acel număr complex L care satisface: pentru orice $\varepsilon > 0$, există $\delta > 0$, astfel încât, pentru orice $z \in \mathbb{C}$ care satisface $|z - z_0| < \delta$, avem că $|f(z) - L| < \varepsilon$. Notăm

$$\lim_{z \rightarrow z_0} f(z) = L.$$

Se poate observa imediat că

$$\lim_{z \rightarrow z_0} f(z) = \lim_{(x,y) \rightarrow (x_0,y_0)} u(x,y) + i \lim_{(x,y) \rightarrow (x_0,y_0)} v(x,y),$$

ceea ce ne arată că f este continuă în z_0 (și, mai general, pe \mathbb{C}) dacă și numai dacă u și v sunt continue în (x_0, y_0) (sau, mai general, pe \mathbb{R}^2).

Putem acum defini *derivata complexă* a lui f în punctul z_0 ca fiind

$$f'(z_0) = \lim_{z \rightarrow z_0} \frac{f(z) - f(z_0)}{z - z_0}.$$

Se pot defini *derivatele parțiale* ale lui f în punctul z_0 prin

$$\begin{aligned} \frac{\partial f}{\partial x}(z_0) &:= \lim_{h \rightarrow 0} \frac{f(z_0 + h) - f(z_0)}{h}, \\ \frac{\partial f}{\partial y}(z_0) &:= \lim_{h \rightarrow 0} \frac{f(z_0 + ih) - f(z_0)}{h}. \end{aligned}$$

Observăm că dacă există $f'(z_0)$, atunci trebuie să avem

$$f'(z_0) = \frac{\partial f}{\partial x}(z_0) = -i \frac{\partial f}{\partial y}(z_0). \quad (2.1)$$

Pe de altă parte, putem scrie că

$$\begin{aligned} \frac{\partial f}{\partial x}(z_0) &= \lim_{h \rightarrow 0} \frac{u(x_0 + h, y_0) - u(x_0, y_0)}{h} + i \lim_{h \rightarrow 0} \frac{v(x_0 + h, y_0) - v(x_0, y_0)}{h} \\ &= \frac{\partial u}{\partial x}(x_0, y_0) + i \frac{\partial v}{\partial x}(x_0, y_0), \end{aligned}$$

și analog

$$\begin{aligned} \frac{\partial f}{\partial y}(z_0) &= \lim_{h \rightarrow 0} \frac{u(x_0, y_0 + h) - u(x_0, y_0)}{h} + i \lim_{h \rightarrow 0} \frac{v(x_0, y_0 + h) - v(x_0, y_0)}{h} \\ &= \frac{\partial u}{\partial y}(x_0, y_0) + i \frac{\partial v}{\partial y}(x_0, y_0). \end{aligned}$$

Din relația (2.1), rezultă că, pentru ca $f'(z_0)$ să existe, trebuie ca

$$\frac{\partial u}{\partial x}(x_0, y_0) + i \frac{\partial v}{\partial x}(x_0, y_0) = -i \frac{\partial u}{\partial y}(x_0, y_0) + \frac{\partial v}{\partial y}(x_0, y_0),$$

adică

$$\begin{cases} \frac{\partial u}{\partial x}(x_0, y_0) = \frac{\partial v}{\partial y}(x_0, y_0) \\ \frac{\partial v}{\partial x}(x_0, y_0) = -\frac{\partial u}{\partial y}(x_0, y_0) \end{cases},$$

care poartă denumirea de *ecuațiile Cauchy-Riemann*.

Dacă funcția f este derivabilă complex în fiecare punct z_0 al unei mulțimi deschise $U \subset \mathbb{C}$, se spune că f este *olomorfă* pe U . Spunem că f este olomorfă în punctul z_0 dacă este olomorfă pe o vecinătate a lui z_0 . O funcție olomorfă a cărei domeniu este întreg planul complex se numește *funcție întreagă*.

Acum, Teorema lui Liouville ne spune că orice funcție olomorfă pe \mathbb{C} (întreagă) și mărginită este constantă. Acest fapt va avea consecințe importante în domeniul rețelelor neuronale, deoarece ideal am vrea ca funcțiile de activare să fie atât mărginite cât și derivabile complex pe toată mulțimea numerelor complexe. Cum acest deziderat nu poate fi atins decât de funcțiile constante, care nu sunt acceptabile ca funcții de activare, un compromis este necesar. Unii autori aleg funcții de activare mărginite, dar care nu sunt derivabile complex, iar alții aleg funcții de activare derivabile complex, care însă au puncte în care sunt nemărginite.

O altă problemă ridicată de analiza complexă este aceea că funcțiile de eroare folosite în rețelele neuronale au valori reale. După cum se poate observa ușor, singurele funcții $f : \mathbb{C} \rightarrow \mathbb{R}$ derivabile complex sunt constantele. Prin urmare, pentru deducerea algoritmilor de învățare pentru rețelele neuronale cu valori complexe, nu vom putea utiliza derivata complexă a funcției de eroare, deoarece aceasta nu există. Singurele derivate care există pentru o astfel de funcție sunt derivatele parțiale $\frac{\partial f}{\partial x}$ și $\frac{\partial f}{\partial y}$, și respectiv derivatele parțiale ale componentelor u și v ale funcției f , adică $\frac{\partial u}{\partial x}$, $\frac{\partial u}{\partial y}$, $\frac{\partial v}{\partial x}$, $\frac{\partial v}{\partial y}$.

Să presupunem că avem o rețea neuronală cu valori complexe de tip multistrat, total conectată, care are L straturi, unde stratul 1 este stratul de intrare, stratul L este stratul de ieșire, iar straturile notate cu $\{2, \dots, L-1\}$ sunt straturi ascunse. Funcția de eroare $E : \mathbb{C}^N \rightarrow \mathbb{R}$ pentru o asemenea rețea este definită prin

$$E(\mathbf{w}) = \frac{1}{2} \sum_{i=1}^c (y^L[i] - t[i])(\overline{y^L[i] - t[i]}), \quad (2.2)$$

unde $\mathbf{y}^L = (y^L[i])_{1 \leq i \leq c}$ reprezintă *ieșirile* rețelei, $\mathbf{t} = (t[i])_{1 \leq i \leq c}$ reprezintă *ieșirile dorite* (*target*-urile) ale rețelei, iar \mathbf{w} este vectorul tuturor celor N *ponderi* și *bias*-uri ale rețelei.

Dacă notăm cu $w^l[p, r]$ ponderea care leagă neuronul p din stratul $l-1$ de neuronul r din stratul l , pentru orice $l \in \{2, \dots, L\}$, putem defini *pasul de actualizare* al ponderii $w^l[p, r]$ în epoca t ca fiind

$$\Delta w^l[p, r](t) = w^l[p, r](t+1) - w^l[p, r](t).$$

Cu această notație, pentru *metoda gradient*, *regula de actualizare* pentru ponderea $w^l[p, r]$ este

$$\Delta w^l[p, r](t) = -\varepsilon \left(\frac{\partial E}{\partial w^{l,R}[p, r]}(t) + i \frac{\partial E}{\partial w^{l,I}[p, r]}(t) \right),$$

unde ε este un număr real care reprezintă *rata de învățare*, și am notat cu a^R partea reală a numărului complex a , și cu a^I partea imaginară a numărului complex a , i.e. $a = a^R + ia^I$, $i = \sqrt{-1}$.

Prin urmare, pentru a minimiza funcția de eroare E , avem nevoie să calculăm derivatele parțiale de forma $\frac{\partial E}{\partial w^{l,R}[p, r]}$, $\frac{\partial E}{\partial w^{l,I}[p, r]}$.

Pentru aceasta, facem următoarele notații

$$s^l[p] := \sum_r w^l[p, r] x^{l-1}[r], \quad (2.3)$$

$$y^l[p] := G^l(s^l[p]), \quad (2.4)$$

unde G^l este *funcția de activare* a stratului $l \in \{2, \dots, L\}$, $\mathbf{x}^1 = (x^1[r])_{1 \leq r \leq d}$ sunt intrările rețelei, și avem că $x^l[r] = y^l[r]$, $\forall l \in \{2, \dots, L-1\}$, $\forall r$. Scriind relațiile de mai sus sub formă vectorială, avem

$$\mathbf{s}^l := \mathbf{W}^l \mathbf{x}^{l-1}, \quad (2.5)$$

$$\mathbf{y}^l := G^l(\mathbf{s}^l). \quad (2.6)$$

Vom calcula mai întâi actualizările pentru ponderile dintre penultimul strat ascuns $L-1$ și stratul de ieșire L , i.e.

$$\Delta w^L[p, r] = -\varepsilon \left(\frac{\partial E}{\partial w^{L,R}[p, r]} + i \frac{\partial E}{\partial w^{L,I}[p, r]} \right).$$

Folosind regula înlănțuirii, putem scrie următoarele relații:

$$\begin{aligned} \frac{\partial E}{\partial w^{L,R}[p, r]} &= \frac{\partial E}{\partial s^{L,R}[p]} \frac{\partial s^{L,R}[p]}{\partial w^{L,R}[p, r]} + \frac{\partial E}{\partial s^{L,I}[p]} \frac{\partial s^{L,I}[p]}{\partial w^{L,R}[p, r]}, \\ \frac{\partial E}{\partial w^{L,I}[p, r]} &= \frac{\partial E}{\partial s^{L,R}[p]} \frac{\partial s^{L,R}[p]}{\partial w^{L,I}[p, r]} + \frac{\partial E}{\partial s^{L,I}[p]} \frac{\partial s^{L,I}[p]}{\partial w^{L,I}[p, r]}. \end{aligned}$$

Aplicând din nou regula înlănțuirii pentru $\partial E / \partial s^{L,R}[p]$ și $\partial E / \partial s^{L,I}[p]$, avem că

$$\begin{aligned} \frac{\partial E}{\partial s_j^{L,R}[p]} &= \frac{\partial E}{\partial y^{L,R}[p]} \frac{\partial y^{L,R}[p]}{\partial s^{L,R}[p]} + \frac{\partial E}{\partial y^{L,I}[p]} \frac{\partial y^{L,I}[p]}{\partial s^{L,R}[p]} \\ &= (y^{L,R}[p] - t^R[p]) \frac{\partial G^{L,R}(s^L[p])}{\partial s^{L,R}[p]} + (y^{L,I}[p] - t^I[p]) \frac{\partial G^{L,I}(s^L[p])}{\partial s^{L,R}[p]}, \\ \frac{\partial E}{\partial s^{L,I}[p]} &= \frac{\partial E}{\partial y^{L,R}[p]} \frac{\partial y^{L,R}[p]}{\partial s^{L,I}[p]} + \frac{\partial E}{\partial y^{L,I}[p]} \frac{\partial y^{L,I}[p]}{\partial s^{L,I}[p]} \\ &= (y^{L,R}[p] - t^R[p]) \frac{\partial G^{L,R}(s^L[p])}{\partial s^{L,I}[p]} + (y^{L,I}[p] - t^I[p]) \frac{\partial G^{L,I}(s^L[p])}{\partial s^{L,I}[p]}, \end{aligned}$$

unde am ținut seama de notația (2.4) și de expresia pentru funcția de eroare (2.2). Din (2.3), deducem că

$$\begin{aligned} \frac{\partial s^{L,R}[p]}{\partial w^{L,R}[p, r]} &= x^{L-1,R}[r], \quad \frac{\partial s^{L,R}[p]}{\partial w^{L,I}[p, r]} = -x^{L-1,I}[r], \\ \frac{\partial s^{L,I}[p]}{\partial w^{L,R}[p, r]} &= x^{L-1,I}[r], \quad \frac{\partial s^{L,I}[p]}{\partial w^{L,I}[p, r]} = x^{L-1,R}[r], \end{aligned}$$

și folosind notația $\delta^L[p] := \partial E / \partial s^L[p]$, obținem expresia pentru actualizarea dorită:

$$\Delta w^L[p, r] = -\varepsilon \delta^L[p] \overline{x^{L-1}[r]}.$$

Acum, vom calcula actualizarea pentru o pondere arbitrară $w^l[p, r]$, unde $l \in \{2, \dots, L-1\}$. În primul rând, putem scrie că

$$\Delta w^l[p, r] = -\varepsilon \left(\frac{\partial E}{\partial w^{l,R}[p, r]} + i \frac{\partial E}{\partial w^{l,I}[p, r]} \right),$$

iar apoi, din regula înălțăturii, avem că

$$\begin{aligned} \frac{\partial E}{\partial w^{l,R}[p, r]} &= \frac{\partial E}{\partial s^{l,R}[p]} \frac{\partial s^{l,R}[p]}{\partial w^{l,R}[p, r]} + \frac{\partial E}{\partial s^{l,I}[p]} \frac{\partial s^{l,I}[p]}{\partial w^{l,R}[p, r]}, \\ \frac{\partial E}{\partial w^{l,I}[p, r]} &= \frac{\partial E}{\partial s^{l,R}[p]} \frac{\partial s_j^{l,R}}{\partial w^{l,I}[p, r]} + \frac{\partial E}{\partial s^{l,I}[p]} \frac{\partial s^{l,I}[p]}{\partial w^{l,I}[p, r]}. \end{aligned}$$

Aplicând din nou regula înălțăturii, obținem că

$$\frac{\partial E}{\partial s^{l,R}[p]} = \sum_m \frac{\partial E}{\partial s^{l+1,R}[m]} \frac{\partial s^{l+1,R}[m]}{\partial s^{l,R}[p]} + \frac{\partial E}{\partial s^{l+1,I}[m]} \frac{\partial s^{l+1,I}[m]}{\partial s^{l,R}[p]}, \quad (2.7)$$

$$\frac{\partial E}{\partial s^{l,I}[p]} = \sum_m \frac{\partial E}{\partial s^{l+1,R}[m]} \frac{\partial s^{l+1,R}[m]}{\partial s^{l,I}[p]} + \frac{\partial E}{\partial s^{l+1,I}[m]} \frac{\partial s^{l+1,I}[m]}{\partial s^{l,I}[p]}, \quad (2.8)$$

unde sumele sunt luate după toți neuronii m din stratul $l+1$ către care neuronul p din stratul l trimite conexiuni. Apoi

$$\frac{\partial s^{l+1,R}[m]}{\partial s^{l,R}[p]} = \frac{\partial s^{l+1,R}[m]}{\partial y^{l,R}[p]} \frac{\partial y^{l,R}[p]}{\partial s^{l,R}[p]} + \frac{\partial s^{l+1,R}[m]}{\partial y^{l,I}[p]} \frac{\partial y^{l,I}[p]}{\partial s^{l,R}[p]},$$

și relațiile analoage. Din nou din (2.3), avem

$$\begin{aligned} \frac{\partial s^{l+1,R}[m]}{\partial y^{l,R}[p]} &= w^{l+1,R}[m, j], \quad \frac{\partial s^{l+1,R}[m]}{\partial y^{l,I}[p]} = -w^{l+1,I}[m, j], \\ \frac{\partial s^{l+1,I}[m]}{\partial y^{l,R}[p]} &= w^{l+1,I}[m, j], \quad \frac{\partial s^{l+1,I}[m]}{\partial y^{l,I}[p]} = w^{l+1,R}[m, j]. \end{aligned}$$

Acum, punând toate cele de mai sus împreună, relațiile (2.7) și (2.8) devin

$$\begin{aligned} \frac{\partial E}{\partial s^{l,R}[p]} &= \left(\sum_m \overline{w^{l+1}[m, j]} \delta^{l+1}[m] \right)^R \frac{\partial G^{l,R}(s^l[p])}{\partial s^{l,R}[p]} \\ &\quad + \left(\sum_m \overline{w^{l+1}[m, j]} \delta^{l+1}[m] \right)^I \frac{\partial G^{l,I}(s^l[p])}{\partial s^{l,R}[p]}, \end{aligned}$$

$$\begin{aligned}\frac{\partial E}{\partial s^{l,I}[p]} &= \left(\sum_m \overline{w^{l+1}[m, j]} \delta^{l+1}[m] \right)^R \frac{\partial G^{l,R}(s^l[p])}{\partial s^{l,I}[p]} \\ &\quad + \left(\sum_m \overline{w^{l+1}[m, j]} \delta^{l+1}[m] \right)^I \frac{\partial G^{l,I}(s^l[p])}{\partial s^{l,I}[p]}.\end{aligned}$$

În fine, dacă notăm $\delta^l[p] := \partial E / \partial s^l[p]$, și folosim (2.3) pentru a calcula

$$\begin{aligned}\frac{\partial s^{l,R}[p]}{\partial w^{l,R}[p, r]} &= x^{l-1,R}[r], \quad \frac{\partial s^{l,R}[p]}{\partial w^{l,I}[p, r]} = -x^{l-1,I}[r], \\ \frac{\partial s^{l,I}[p]}{\partial w^{l,R}[p, r]} &= x^{l-1,I}[r], \quad \frac{\partial s^{l,I}[p]}{\partial w^{l,I}[p, r]} = x^{l-1,R}[r],\end{aligned}$$

obținem

$$\Delta w^l[p, r] = -\varepsilon \delta^l[p] \overline{x^{l-1}[r]}, \quad \forall l \in \{2, \dots, L-1\}.$$

În concluzie, avem că

$$\Delta w^l[p, r] = -\varepsilon \delta^l[p] \overline{x^{l-1}[r]}, \quad \forall l \in \{2, \dots, L\},$$

unde

$$\delta_j^l = \begin{cases} \left(\sum_m \overline{w^{l+1}[m, j]} \delta^{l+1}[m] \right)^R \left(\frac{\partial G^{l,R}(s^l[p])}{\partial s^{l,R}[p]} + i \frac{\partial G^{l,R}(s^l[p])}{\partial s^{l,I}[p]} \right) \\ + \left(\sum_m \overline{w^{l+1}[m, j]} \delta^{l+1}[m] \right)^I \left(\frac{\partial G^{l,I}(s^l[p])}{\partial s^{l,R}[p]} + i \frac{\partial G^{l,I}(s^l[p])}{\partial s^{l,I}[p]} \right), & l \leq L-1 \\ (y^{l,R}[p] - t^R[p]) \left(\frac{\partial G^{l,R}(s^l[p])}{\partial s^{l,R}[p]} + i \frac{\partial G^{l,R}(s^l[p])}{\partial s^{l,I}[p]} \right) \\ + (y^{l,I}[p] - t^I[p]) \left(\frac{\partial G^{l,I}(s^l[p])}{\partial s^{l,R}[p]} + i \frac{\partial G^{l,I}(s^l[p])}{\partial s^{l,I}[p]} \right), & l = L \end{cases}.$$

Observăm că aceste relații nu depind de tipul funcției de activare G^l : aceasta poate să fie *complexă complet* (tratează numărul complex ca un întreg) sau *complexă divizat* (tratează separat părțile reală și imaginară ale numărului complex).

Spre exemplu, dacă $G^l(z) = \tanh z$, adică G^l este complexă complet, avem că

$$\begin{aligned}\frac{\partial G^{l,R}(z)}{\partial z^R} + i \frac{\partial G^{l,R}(z)}{\partial z^I} &= \frac{\partial(\tanh z)^R}{\partial z^R} + i \frac{\partial(\tanh z)^R}{\partial z^I} \\ &= \frac{\partial}{\partial z^R} \left(\frac{\sinh 2z^R}{\cosh 2z^R + \cos 2z^I} + i \frac{\sin 2z^I}{\cosh 2z^R + \cos 2z^I} \right)^R \\ &\quad + i \frac{\partial}{\partial z^I} \left(\frac{\sinh 2z^R}{\cosh 2z^R + \cos 2z^I} + i \frac{\sin 2z^I}{\cosh 2z^R + \cos 2z^I} \right)^R \\ &= \frac{\partial}{\partial z^R} \left(\frac{\sinh 2z^R}{\cosh 2z^R + \cos 2z^I} \right) + i \frac{\partial}{\partial z^I} \left(\frac{\sinh 2z^R}{\cosh 2z^R + \cos 2z^I} \right) \\ &= \frac{2(1 + \cosh 2z^R \cos 2z^I)}{(\cosh 2z^R + \cos 2z^I)^2} + i \frac{2 \sinh 2z^R \sin 2z^I}{(\cosh 2z^R + \cos 2z^I)^2},\end{aligned}$$

și analog pentru $\frac{\partial G^{l,I}(z)}{\partial z^R} + i\frac{\partial G^{l,I}(z)}{\partial z^I}$. Dacă, în plus, G^l este derivabilă complex, atunci au loc rețele Cauchy-Riemann

$$\begin{cases} \frac{\partial G^{l,R}(z)}{\partial z^R} = \frac{\partial G^{l,I}(z)}{\partial z^I} \\ \frac{\partial G^{l,I}(z)}{\partial z^R} = -\frac{\partial G^{l,R}(z)}{\partial z^I} \end{cases},$$

și obținem că

$$\frac{\partial G^{l,R}(z)}{\partial z^R} + i\frac{\partial G^{l,R}(z)}{\partial z^I} = -i\left(\frac{\partial G^{l,I}(z)}{\partial z^R} + i\frac{\partial G^{l,I}(z)}{\partial z^I}\right) = \frac{\partial G^{l,R}(z)}{\partial z^R} - i\frac{\partial G^{l,I}(z)}{\partial z^R} = \overline{(G^l)'(z)}.$$

Dacă G^l este complexă divizat, de exemplu $G^l(z) = G^l(z^R + iz^I) = \tanh z^R + i \tanh z^I$, atunci

$$\begin{aligned} \frac{\partial G^{l,R}(z)}{\partial z^R} + i\frac{\partial G^{l,R}(z)}{\partial z^I} &= \frac{\partial(\tanh z^R + i \tanh z^I)^R}{\partial z^R} + i\frac{\partial(\tanh z^R + i \tanh z^I)^R}{\partial z^I} \\ &= \frac{\partial(\tanh z^R)}{\partial z^R} + i\frac{\partial(0)}{\partial z^I} \\ &= 1 - \tanh^2 z^R, \end{aligned}$$

și analog pentru $\frac{\partial G^{l,I}(z)}{\partial z^R} + i\frac{\partial G^{l,I}(z)}{\partial z^I}$.

Dacă presupunem că funcțiile G^l , $l \in \{2, \dots, L\}$ sunt derivabile complex, relațiile de mai sus se scriu sub formă matricială astfel:

$$\Delta \mathbf{W}^l = -\varepsilon \boldsymbol{\delta}^l (\mathbf{x}^{l-1})^H, \quad \forall l \in \{2, \dots, L\}, \quad (2.9)$$

$$\boldsymbol{\delta}^l = \begin{cases} ((\mathbf{W}^{l+1})^H \boldsymbol{\delta}^{l+1}) \circ \overline{(G^l)'(\mathbf{s}^l)}, & l \leq L-1 \\ (\mathbf{y}^l - \mathbf{t}) \circ \overline{(G^l)'(\mathbf{s}^l)}, & l = L \end{cases}, \quad (2.10)$$

unde \mathbf{A}^H reprezintă transpusa conjugată a lui \mathbf{A} și $\mathbf{A} \circ \mathbf{B}$ reprezintă înmulțirea pe componente.

În cazul în care funcțiile G^l , $l \in \{2, \dots, L\}$ sunt complexe divizat, relațiile pentru calculul valorilor $\boldsymbol{\delta}^l$ au următoarea formă matricială

$$\begin{aligned} \Delta \mathbf{W}^l &= -\varepsilon \boldsymbol{\delta}^l (\mathbf{x}^{l-1})^H, \quad \forall l \in \{2, \dots, L\}, \\ \boldsymbol{\delta}^l &= \begin{cases} ((\mathbf{W}^{l+1})^H \boldsymbol{\delta}^{l+1}) \star \frac{\partial G^l(\mathbf{s}^l)}{\partial \mathbf{s}^l}, & l \leq L-1 \\ (\mathbf{y}^l - \mathbf{t}) \star \frac{\partial G^l(\mathbf{s}^l)}{\partial \mathbf{s}^l}, & l = L \end{cases}, \end{aligned} \quad (2.11)$$

unde $\mathbf{A} \star \mathbf{B} = \mathbf{A}^R \circ \mathbf{B}^R + i\mathbf{A}^I \circ \mathbf{B}^I$, iar actualizările ponderilor sunt date prin aceeași formulă (2.9).

2.2 Rețele neuronale de convoluție cu valori complexe

Rețelele neuronale de convoluție reprezintă o variație a rețelelor neuronale multistrat, fiind folosite pentru procesarea datelor care au forma unei „grile”. Ne vom opri în cele ce

urmează asupra grilelor 2D, care corespund pixelilor dintr-o imagine. Astfel, înmulțirea matricilor din (2.5) este înlocuită în acest tip de rețele cu operația de convoluție 2D:

$$s[i, j] = (x * k)[i, j] = \sum_{m=-\infty}^{\infty} \sum_{n=-\infty}^{\infty} x[m, n]k[i - m, j - n],$$

unde facem convenția ca acei termeni ai căror indici depășesc dimensiunea grilei să fie considerați egali cu 0, ceea ce înseamnă că această relație presupune o sumă finită de termeni. De exemplu, avem

$$\begin{bmatrix} x_{11} & x_{12} & x_{13} \\ x_{21} & x_{22} & x_{23} \\ x_{31} & x_{32} & x_{33} \end{bmatrix} * \begin{bmatrix} k_{11} & k_{12} \\ k_{21} & k_{22} \end{bmatrix} = \begin{bmatrix} x_{11}k_{22} + x_{12}k_{21} + x_{21}k_{12} + x_{22}k_{11} & x_{12}k_{22} + x_{13}k_{21} + x_{22}k_{12} + x_{23}k_{11} \\ x_{21}k_{22} + x_{22}k_{21} + x_{31}k_{12} + x_{32}k_{11} & x_{22}k_{22} + x_{23}k_{21} + x_{32}k_{12} + x_{33}k_{11} \end{bmatrix}.$$

Convoluția poate fi privită ca înmulțire cu o matrice, care are mai multe elemente egale între ele. În plus convoluția presupune ca această matrice să aibă multe elemente egale cu 0, mai exact să fie o matrice rară. Aceasta se datorează faptului că nucleele de convoluție, care corespund ponderilor din rețelele multistrat, au în general o dimensiune mult mai mică decât cea a imaginilor de intrare. Prin urmare, orice algoritm de antrenare care nu depinde de forma matricii ponderilor se aplică și rețelelor de convoluție, fără a fi necesare niciun fel de alte modificări.

O rețea neuronală de convoluție are, în general, două tipuri de straturi: straturi de *convoluție* și straturi de *pooling*.

Straturile de convoluție sunt foarte asemănătoare cu straturile dintr-o rețea multistrat, cu deosebirea menționată anterior a înlocuirii operației de înmulțire cu matricea ponderilor cu o operație de convoluție cu mai multe nuclee de convoluție. Reprezintă o particularitate a rețelelor de convoluție, existența mai multor canale pe fiecare strat, care pot să corespundă, spre exemplu, canalelor RGB dintr-o imagine.

Să presupunem că avem un strat de convoluție l care are I canale de intrare notate $\mathbf{x}^{l-1}[i]$, $i \in \{1, \dots, I\}$. Evident, pentru primul strat, avem că $I = 1$ pentru imagini alb-negru și $I = 3$ pentru imagini color. Dacă stratul are J canale de ieșire, notate $\mathbf{y}^l[j]$, $j \in \{1, \dots, J\}$, atunci relațiile (2.5)-(2.6) devin:

$$\mathbf{s}^l[j] = \sum_{i=1}^I \mathbf{x}^{l-1}[i] * \mathbf{k}^l[i, j], \quad \forall j \in \{1, \dots, J\},$$

$$\mathbf{y}^l[j] = G^l(\mathbf{s}^l[j]), \quad \forall j \in \{1, \dots, J\}.$$

cu observația făcută și în cazul rețelelor multistrat că $\mathbf{x}^l[j] = \mathbf{y}^l[j]$, $\forall j \in \{1, \dots, J\}$. $\mathbf{k}^l[i, j]$ reprezintă nucleele de convoluție, care sunt în număr de IJ , adică produsul dintre numărul de canale de intrare și numărul de canale de ieșire. Acestea înlocuiesc ponderile \mathbf{W}^l din rețelele multistrat. Dimensiunea lor este, de obicei, mult mai mică decât cea a canalelor de intrare, dând două proprietăți importante ale rețelelor de convoluție, și

anume *partajarea ponderilor* și *conectivitatea „rară”*, care nu există în cadrul rețelelor multistrat. Aceasta înseamnă că trebuie memorati mai puțini parametri, ceea ce reduce cerințele de memorie ale rețelelor. De asemenea, calculele se fac mult mai repede dacă înmulțirea cu o matrice de dimensiuni mari este înlocuită cu convoluția cu un nucleu de convoluție de dimensiuni mult mai mici.

O importanță deosebită o au în cadrul rețelelor de convoluție straturile de pooling. Acestea induc o a treia proprietate importantă a rețelelor de convoluție, și anume *invarianța la translații* mici ale intrării. Aceasta este foarte importantă în recunoașterea de imagini, pentru că, în astfel de aplicații, ne interesează mai mult prezența anumitor obiecte în acele imagini, mai degrabă decât poziția lor exactă. Ceea ce se întâmplă în aceste straturi este că ieșirea stratului anterior este înlocuită cu un rezumat statistic al ieșirilor din imediata sa vecinătate. Vom considera că această statistică este dată de media aritmetică, astfel relațiile (2.5)-(2.6) având forma:

$$\mathbf{s}^l[j] = \frac{1}{n^2} \mathbf{x}^{l-1}[j] * \mathbf{1}_{n \times n}, \quad \forall j \in \{1, \dots, J\}$$

$$\mathbf{x}^l[j] = \text{down}(\mathbf{s}^l[j]), \quad \forall j \in \{1, \dots, J\}.$$

unde J reprezintă numărul de canale de intrare în stratul de pooling, care este egal cu numărul de canale de ieșire, aceasta fiind o caracteristică a acestui tip de strat. $\mathbf{1}_{n \times n}$ reprezintă o matrice care are toate intrările egale cu 1, iar down reprezintă operația de downsampling prin care se reduce dimensiunea intrării în stratul de pooling de n ori, n fiind dimensiunea vecinătății pe care se face medierea. Prima relație este tot o convoluție, care înlocuiește fiecare valoare dintr-o regiune pătratică de dimensiune n cu media aritmetică a tuturor valorilor din această regiune, urmând ca a doua relație să păstreze doar această medie, ignorând valorile care au dat-o. De exemplu,

$$\begin{aligned} & \text{down} \left(\frac{1}{2^2} \begin{bmatrix} x_{11} & x_{12} & x_{13} & x_{14} \\ x_{21} & x_{22} & x_{23} & x_{24} \\ x_{31} & x_{32} & x_{33} & x_{34} \\ x_{41} & x_{42} & x_{43} & x_{44} \end{bmatrix} * \begin{bmatrix} 1 & 1 \\ 1 & 1 \end{bmatrix} \right) \\ &= \text{down} \left(\begin{bmatrix} \frac{x_{11}+x_{12}+x_{21}+x_{22}}{4} & \frac{x_{12}+x_{13}+x_{22}+x_{23}}{4} & \frac{x_{13}+x_{14}+x_{23}+x_{24}}{4} \\ \frac{x_{21}+x_{22}+x_{31}+x_{32}}{4} & \frac{x_{22}+x_{23}+x_{32}+x_{33}}{4} & \frac{x_{23}+x_{24}+x_{33}+x_{34}}{4} \\ \frac{x_{31}+x_{32}+x_{41}+x_{42}}{4} & \frac{x_{11}+x_{12}+x_{21}+x_{22}}{4} & \frac{x_{33}+x_{34}+x_{43}+x_{44}}{4} \end{bmatrix} \right) \\ &= \begin{bmatrix} \frac{x_{11}+x_{12}+x_{21}+x_{22}}{4} & \frac{x_{13}+x_{14}+x_{23}+x_{24}}{4} \\ \frac{x_{31}+x_{32}+x_{41}+x_{42}}{4} & \frac{x_{33}+x_{34}+x_{43}+x_{44}}{4} \end{bmatrix}. \end{aligned}$$

Se observă că straturile de pooling nu au ponderi.

Configurația generală a unei rețele de convoluție presupune alternarea straturilor de convoluție cu straturile de pooling. Astfel, fiecărui strat de convoluție îi urmează un strat de pooling, care are același număr de canale de intrare și de ieșire. De obicei, ultimul strat al rețelei este unul total conectat, identic cu cele dintr-o rețea multistrat.

Învățarea într-o rețea de convoluție se bazează pe același algoritm backpropagation, ca în cazul rețelelor multistrat. Actualizarea ponderilor are loc doar pentru straturile

de convoluție (și pentru stratul total conectat), însă valori δ^l trebuie calculate și pentru straturile de pooling. Pentru stratul total conectat, relația (2.10) sau (2.11) dă valoarea lui δ^l . În schimb, pentru un strat de convoluție, relația (2.10) se poate scrie

$$\delta^l[j] = \text{up}(\delta^{l+1}[j]) \circ \overline{(G^l)'(\mathbf{s}^l[j])}, \quad \forall j \in \{1, \dots, J\},$$

iar relația (2.11):

$$\delta^l[j] = \text{up}(\delta^{l+1}[j]) \star \frac{\partial G^l(\mathbf{s}^l[j])}{\partial \mathbf{s}^l[j]}, \quad \forall j \in \{1, \dots, J\},$$

unde J reprezintă numărul de canale de ieșire ale stratului de convoluție, care este egal cu numărul de canale de intrare și ieșire ale stratului de pooling $l + 1$. Operația up reprezintă o operație de upsampling, prin care se mărește dimensiunea argumentului de n ori, n fiind dimensiunea vecinătății pe care se face medierea în stratul de pooling $l + 1$, fiind opusă operației de downsampling care reducea dimensiunea intrării în stratul de pooling. Practic, fiecare element al lui $\delta^{l+1}[j]$ este transformat într-o matrice bloc de dimensiune n , care are toate elementele egale cu acest element din matricea inițială. De exemplu,

$$\text{up} \left(\begin{bmatrix} \delta_{11} & \delta_{12} \\ \delta_{21} & \delta_{22} \end{bmatrix} \right) = \begin{bmatrix} \delta_{11} & \delta_{11} & \delta_{12} & \delta_{12} \\ \delta_{11} & \delta_{11} & \delta_{12} & \delta_{12} \\ \delta_{21} & \delta_{21} & \delta_{22} & \delta_{22} \\ \delta_{21} & \delta_{21} & \delta_{22} & \delta_{22} \end{bmatrix}.$$

Acum, valorile δ^l pentru un strat de pooling se calculează cu formula

$$\delta^l[i] = \sum_{j=1}^J \delta^{l+1}[j] * \text{rot180}(\overline{\mathbf{k}^{l+1}[i, j]}), \quad \forall i \in \{1, \dots, I\}, \quad (2.12)$$

unde I reprezintă numărul de canale de intrare și de ieșire ale stratului de pooling, iar J reprezintă numărul de canale de ieșire ale stratului de convoluție $l + 1$. Operația rot180 rotește matricea argument cu 180 de grade, fiind corespunzătoare în cazul convoluției a transpusei din cazul înmulțirii de matrici, prezente în ecuațiile (2.10)-(2.11). Prin urmare, $\text{rot180}(\overline{\mathbf{k}^{l+1}[i, j]})$ este echivalent cu $(\mathbf{W}^{l+1})^H$ de la rețelele multistrat. De exemplu,

$$\text{rot180} \left(\overline{\begin{bmatrix} k_{11} & k_{12} \\ k_{21} & k_{22} \end{bmatrix}} \right) = \overline{\begin{bmatrix} k_{22} & k_{21} \\ k_{12} & k_{11} \end{bmatrix}} = \begin{bmatrix} \overline{k_{22}} & \overline{k_{21}} \\ \overline{k_{12}} & \overline{k_{11}} \end{bmatrix}.$$

Mai trebuie făcută observația că operația de convoluție din (2.12) se realizează prin bordarea matricii $\delta^{l+1}[j]$ cu zerouri, astfel încât dimensiunea matricii rezultate în urma convoluției este egală cu dimensiunea matricii $\delta^{l+1}[j]$ plus dimensiunea nucleului de convoluție minus 1. De exemplu,

$$\begin{bmatrix} 0 & 0 & 0 & 0 \\ 0 & \delta_{11} & \delta_{12} & 0 \\ 0 & \delta_{21} & \delta_{22} & 0 \\ 0 & 0 & 0 & 0 \end{bmatrix} * \text{rot180} \left(\overline{\begin{bmatrix} k_{11} & k_{12} \\ k_{21} & k_{22} \end{bmatrix}} \right) = \begin{bmatrix} 0 & 0 & 0 & 0 \\ 0 & \delta_{11} & \delta_{12} & 0 \\ 0 & \delta_{21} & \delta_{22} & 0 \\ 0 & 0 & 0 & 0 \end{bmatrix} * \begin{bmatrix} \overline{k_{22}} & \overline{k_{21}} \\ \overline{k_{12}} & \overline{k_{11}} \end{bmatrix}$$

$$= \begin{bmatrix} \delta_{11}\overline{k_{22}} & \delta_{11}\overline{k_{21}} + \delta_{12}\overline{k_{22}} & \delta_{12}\overline{k_{21}} \\ \delta_{11}\overline{k_{12}} + \delta_{21}\overline{k_{22}} & \delta_{11}\overline{k_{11}} + \delta_{12}\overline{k_{12}} + \delta_{21}\overline{k_{21}} + \delta_{22}\overline{k_{22}} & \delta_{12}\overline{k_{11}} + \delta_{22}\overline{k_{21}} \\ \delta_{21}\overline{k_{12}} & \delta_{21}\overline{k_{11}} + \delta_{22}\overline{k_{12}} & \delta_{22}\overline{k_{11}} \end{bmatrix}.$$

În final, mai trebuie să dăm o formulă pentru actualizarea nucleelor de convoluție, deoarece formula pentru actualizarea ponderilor stratului total conectat din rețeaua de convoluție este aceeași cu cea dată în relația (2.9). Această relație are, pentru nucleul de convoluție $\mathbf{k}^l[i, j]$, următoarea formă:

$$\Delta \mathbf{k}^l[i, j] = -\varepsilon \text{rot180}(\overline{\mathbf{x}^{l-1}[i]}) * \boldsymbol{\delta}^l[j], \quad \forall i \in \{1, \dots, I\}, \quad \forall j \in \{1, \dots, J\},$$

unde ε reprezintă rata de învățare, analoagă celei de la rețelele multistrat, I reprezintă numărul de canale de intrare în stratul de convoluție l , iar J reprezintă numărul canalelor de ieșire din stratul de convoluție l . Din nou, se observă că $(\mathbf{x}^{l-1})^H$ a fost înlocuit în acest caz cu $\text{rot180}(\overline{\mathbf{x}^{l-1}[i]})$.

Capitolul 3

Specificațiile proiectului

Presupunând că utilizatorii soluției prezentate vor face parte din domenii apropiate cu cel al tehnologiei informației și rezultatul dezvoltării se va folosi în scopuri de cercetare și testare, componenta software va avea o interfață cu utilizatorul minimală.

La rularea programului, datele de intrare extrase eventual dintr-o imagine care se dorește a fi analizată vor fi introduse de către utilizator fie prin intermediul unei ferestre care se va deschide și va permite încărcarea directă a imaginii, fie prin crearea unui fișier ce va conține informațiile care caracterizează imaginea/setul de imagini care se doresc a fi clasificate.

Prin această metodă se vor permite introducerea datelor sub o formă neprelucrată (prin încărcarea directă a imaginii), dar și date de intrare care caracterizează o imagine/un set de imagini pe care s-au aplicat anumite prelucrări sau filtre. În general rezultatele obținute pot fi îmbunătățite prin filtrarea sau aplicarea de transformări asupra imaginilor care se doresc a fi analizate/clasificate, însă efectul acestor prelucrări este strict dependent de domeniul din care sunt preluate imaginile, respectiv de calitatea instrumentelor care le-au generat inițial.

Un al doilea aspect important în interfața programului cu utilizatorul îl constituie setarea parametrilor de configurare menționați. Acești parametri au rolul de a defini structura internă a rețelei și de asemenea de a seta o eroare maximă acceptată pentru a se finaliza antrenarea și coeficientul de actualizare ai parametrilor de control interni.

Structura rețelei de convoluție se definește prin următoarele elemente configurabile: numărul de straturi, tipul fiecărui strat și numărul de hărți de intrare/ieșire pe fiecare strat. Acestea pot fi de tipul strat de convoluție sau pooling. Astfel, pe lângă aceste elemente esențiale de configurare, se adaugă și elementele specifice fiecărui strat. Printre acestea se numără dimensiunea nucleului de convoluție și numărul de nuclee pentru fiecare dintre straturile de tip convoluție, iar pentru straturile de pooling se poate specifica rata de sub-sampling.

Pornind de la un strat de intrare, care conține datele extrase din imagine sau primite într-un fișier extern după o anumită prelucrare, se pot adăuga un număr arbitrar de straturi. Determinarea numărului potrivit de straturi este strâns legată de tipul și de dimensiunea hărților de intrare folosite pentru antrenarea rețelei. Se ține cont astfel

de reducerea în dimensiune a acestor hărți în funcție de stratul prin care acestea sunt prelucrate. În cazul unui strat de convoluție, rezultatul operațiilor va avea dimensiuni reduse față de cele ale hărților de intrare în stratul respectiv în funcție de dimensiunea nucleelor de convoluție care se aplică. În mod similar, dimensiunea rezultatului operației de max-pooling va fi mai mică decât cea a hărților de intrare pe stratul de pooling, în funcție de rata de sub-sampling.

Pentru a putea memora configurația rețelei se vor folosi structuri de date particulare specializate în acest scop. Conținutul acestor structuri de date va rămâne neschimbat pe parcursul antrenării și va putea fi setat doar înainte de începerea acestei etape.

O altă facilitate importantă inclusă constă în abilitatea de a citi și interpreta informațiile de pe senzorul de temperatură al procesorului grafic, dacă acesta există. Aceste informații pot fi utile pentru a monitoriza performanța componentei și gradul de utilizare al acesteia. În funcție de nivelul temperaturii se poate afla dacă unitatea de procesare este utilizată la capacitate maximă sau dacă utilizarea acesteia este inefficientă. În cazul detectării unei astfel de probleme acțiunea recomandată va fi aceea de a verifica și modifica numărul de fire de execuție în care se împarte sarcina în timpul unei operații efectuate de către GPU.

În cazul în care dintr-un motiv sau altul nu se poate continua antrenarea rețelei, programul își va încheia execuția cu un cod de eroare specific. De exemplu, funcționarea nu poate continua dacă apare o eroare în alocarea zonei de memorie de lucru, sau în cazul în care nu se poate deschide un fișier pentru citire/scriere. O altă eroare de execuție care poate apărea este inexistența unui GPU capabil să execute operațiile necesare sau în cazuri extrem de rare nerecunoașterea acestuia. Aceste tipuri de erori sunt tratate corespunzător și utilizatorul poate fi anunțat de motivul încheierii execuției programului.

Capitolul 4

Proiectare și implementare

4.1 Programarea pe GPU

Datorită cererii tot mai mari de grafică 3D high-definition obținută în timp real, unitățile programabile Graphic Processor Unit(GPU) au cunoscut în ultimii ani o evoluție spre procesoare multi-core capabile de a efectua operații în paralel, pe mai multe fire de execuție obținându-se astfel o putere de calcul imensă. În același timp se recunoaște o creștere și în lățimea de bandă de memorie. Aceste fapte sunt vizibile în figurile următoare.

Figura 4.1 conține un grafic prin care se efectuează comparația unor modele de GPU produse de NVIDIA și diferite generații de procesoare de uz general CPU produse de Intel din punctul de vedere al numărului de operații în virgulă flotantă efectuate într-o secundă.

În Figura 4.2 se compară lățimea de bandă pentru memorie a procesoarelor GPU cu cea a procesoarelor de uz general:

Se observă așadar că din aceste puncte de vedere performanța GPU-urilor arată o creștere mult mai mare decât cea a procesoarelor de uz general. Motivul pentru care procesoarele GPU sunt mai performante din punctul de vedere al capacității computaționale în virgulă flotantă este acela că procesoarele grafice sunt specializate în computații intensive în mod paralel, aceasta fiind cerința principală pentru redarea grafică. Prin urmare GPU-urile sunt proiectate astfel încât majoritatea tranzistorilor sunt dedicați procesării de date spre deosebire de cei ai unui CPU care sunt orientați și spre cache sau controlul fluxului de date. Acest fapt este evidențiat schematic în Figura 4.3.

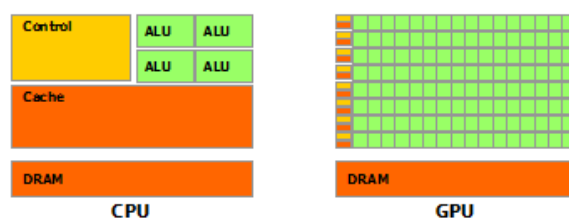


Figura 4.3: GPU-ul este orientat spre procesarea datelor [11]

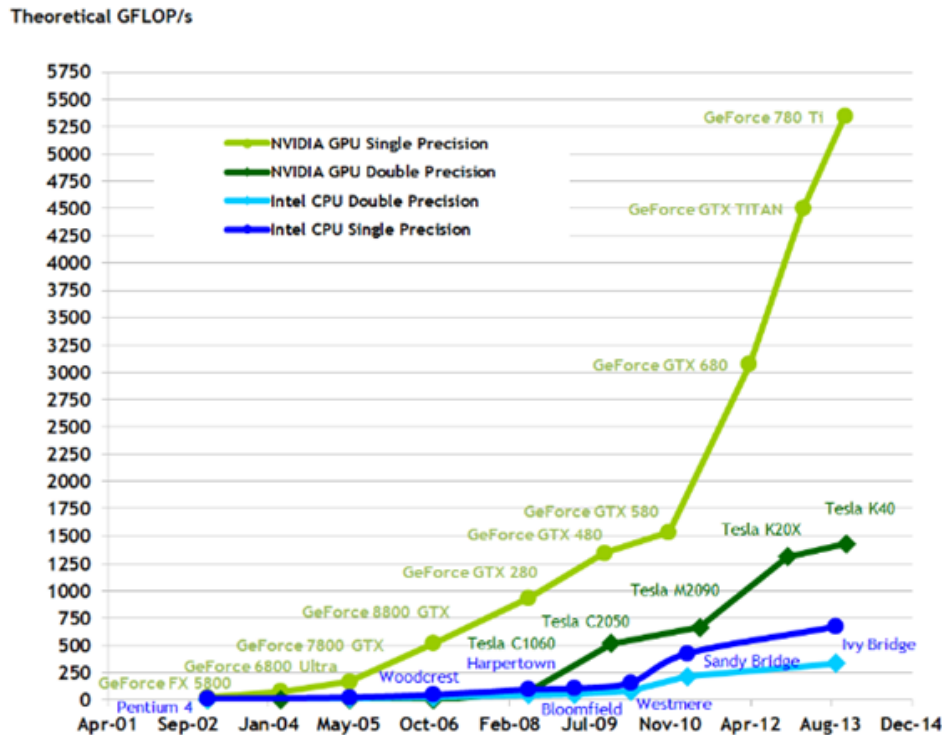


Figura 4.1: Operații în virgulă flotantă pe secundă pentru CPU și GPU [11]

Mai precis, unitatea de procesare grafică este deosebit de potrivită pentru a aborda problemele care pot fi exprimate sub formă de calcule paralele, adică același program/rutină care se rulează de mai multe ori pe seturi de date diferite și care are o intensitate aritmetică ridicată. Acest fapt este determinat din raportul dintre numărul de operații aritmetice și numărul de accesări la memorie în timpul unei execuții al programului/rutinei.

Întrucât același program este rulat pe seturi de date diferite, cerința pentru un control sofisticat al fluxului de date este mică, iar pentru că intensitatea aritmetică este una ridicată latența de acces la memorie poate fi ascunsă cu calcule în locul cache-urilor mari de date.

Procesarea paralelă a datelor distribuie sarcina de calcul între mai multe fire de execuție. Un număr ridicat de aplicații care prelucrează seturi mari de date pot utiliza un model de programare paralelă pentru a accelera calculele. În cazul redării 3D, seturi mari de pixeli și noduri sunt mapate la fire paralele. În mod similar, aplicațiile de procesare a imaginilor și a altor obiecte multimedia cum ar fi post-procesarea imaginilor redare, scalarea imaginilor, codarea și decodarea video pot asocia blocuri de imagini și pixeli firelor de procesare paralelă. De asemenea, mulți algoritmi din afara domeniului de procesare de imagini pot utiliza procesarea paralelă, de la procesarea în general a semnalelor sau simulări din domeniul fizicii, până la inclusiv în domeniul finanțelor și al biologiei.

Din aceste considerente, am ales pentru a accelera calculele folosite pentru antrenarea unei rețele neuronale, ca implementarea să implice și utilizarea unui GPU (produs de

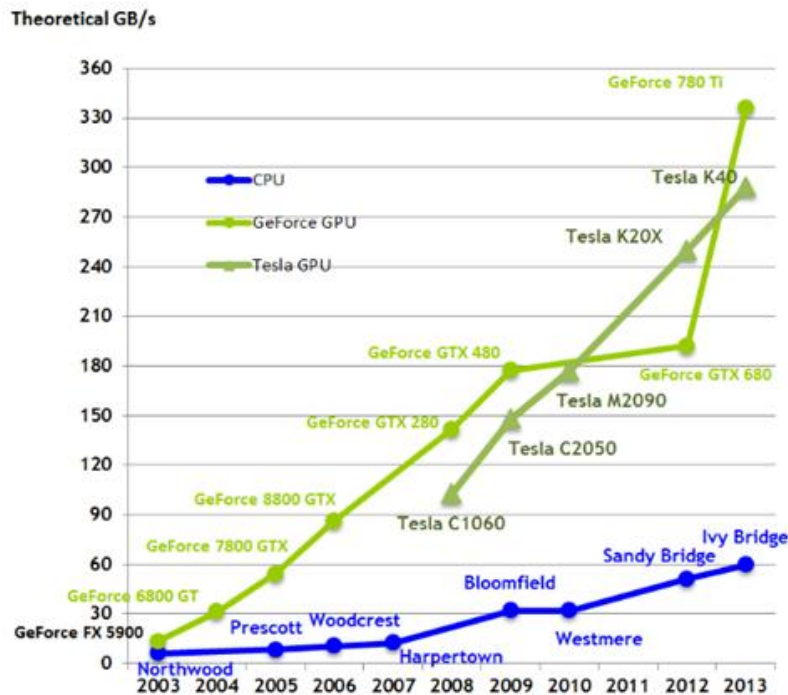


Figura 4.2: Banda de trecere a memoriei pentru CPU și GPU [11]

NVIDIA). Pentru a putea utiliza capacitatea de calcul a unei unități grafice, aceasta trebuie în primul rând să fie programabilă și să suporte platforma și modelul de programare CUDA.

CUDA a fost introdus de către NVIDIA în noiembrie 2006. Aceasta este o platformă de calcul paralel de uz general și un model de programare care folosește motorul de calcul paralel din unitățile de procesare de la NVIDIA pentru a rezolva probleme complexe de calcul într-un mod mai eficient decât pe un procesor de uz general.

Împreună cu această platformă vine și un mediu de dezvoltare software care permite dezvoltatorilor să utilizeze limbajul C ca un limbaj de programare de nivel înalt. Din documentația platformei pusă la dispoziție de NVIDIA reiese faptul că sunt suportate și alte limbaje de programare sau abordări bazate pe directive cum ar fi FORTRAN, DirectCompute sau OpenACC. Provocarea este de a dezvolta o aplicație software care-și scalează într-un mod transparent paralelismul astfel încât să poată face față numărului tot mai mare de nuclee de procesare, la fel cum aplicațiile de grafică 3D își scalează paralelismul la diverse unități grafice cu număr variabil de nuclee.

Modelul de programare paralelă CUDA este proiectat întocmai pentru a depăși această provocare menținând în același timp o curbă de învățare scăzută pentru programatorii familiarizați cu limbaje de programare standard, cum ar fi C. CUDA se bazează pe trei abstracțiuni cheie: o ierarhie a grupurilor de fire de execuție, memoria partajată și sincronizarea acestora, care sunt expuse către dezvoltator ca un set minim de extensii ale limbajului de programare.

Aceste abstracțiuni furnizează paralelismul de date cu granulație fină și paralelismul firelor de execuție. Ele ghidează dezvoltatorul să partajeze problema într-un număr de

probleme mai mici care pot fi apoi rezolvate în mod independent de blocuri de fire de execuție. Această partajare permite păstrarea expresivității limbajului permițând comunicarea și cooperarea firelor de execuție în rezolvarea unei sarcini și în același timp permite scalabilitatea automată. Astfel, modelul scalabil de programare permite soluției dezvoltate să ruleze pe o gamă diversă de arhitecturi GPU cu număr variabil de nuclee de procesare prin simpla eșalonare a numărului de multiprocesoare și partițiilor de memorie de care dispune unitatea respectivă.

În Figura 4.4 se arată cum un program care a respectat scalabilitatea transparentă poate rula pe două unități grafice distincte cu arhitecturi diferite. Fiind efectuată partajarea care permite executarea independentă a sarcinilor care compun o problemă, un GPU cu un număr mai mare de multiprocesoare va rezolva problema dată într-un timp mai scurt decât un GPU cu un număr mai mic de nuclee.

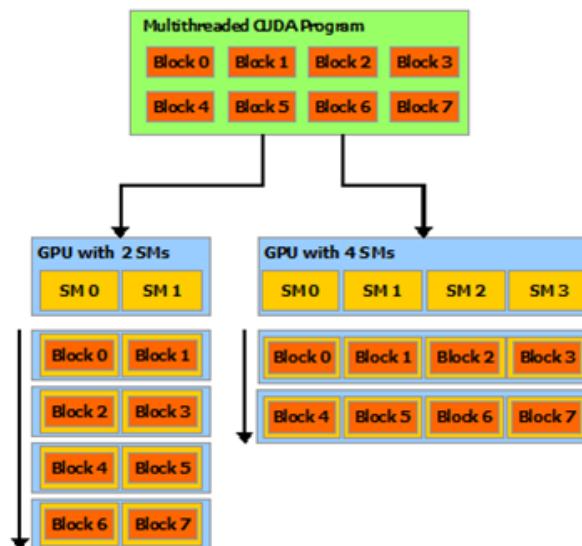


Figura 4.4: Scalabilitatea transparentă [11]

4.1.1 CUDA C

CUDA C oferă o cale simplă pentru utilizatorii familiarizați cu limbajul de programare C pentru a scrie cu ușurință programe care vor fi executate de către dispozitiv. Acesta este compus dintr-un set minim de extensii pentru limbajul C și o bibliotecă de execuție. Extensiile de bază permit programatorilor să definească un nucleu(kernel) de execuție ca o funcție C și să utilizeze unele elemente de sintaxă noi pentru a specifica dimensiunea grilei și a blocului de fiecare dată când funcția este apelată. Orice fișier sursă care conține unele dintre aceste extensii trebuie să fie compilate cu NVCC.

NVCC este un mecanism de compilare care simplifică procesul de compilare al codului sursă. Acesta oferă opțiuni de executare din linia de comandă familiare și executarea lor invocând o colecție de unelte care implementează diferitele etape ale compilării.

4.1.2 Kernel-uri

CUDA C ca extensie a limbajului de programare C permite programatorului sa defineasca funcții C numite kernels care atunci când sunt apelate se execută de un număr N de ori de către N fire de execuție CUDA diferite, spre deosebire de funcțiile C obișnuite. Un nucleu de execuție(kernel) se definește utilizând specificatorul de declarație „__global__” și numărul de fire CUDA care îl execută întrucat un apel al kernel-ului se formează utilizând o sintaxă nouă de configurare a execuției, și anume “<<<...>>>”. Fiecărui fir care execută kernel-ul definit i se atribuie un identificator unic care este accesibil prin variabila threadIdx oferită.

Prin convenție, variabila prin care i se atribuie fiecărui fir de execuție un identificator unic este un vector cu trei componente. Astfel firele de execuție se pot identifica utilizând un index al firului care poate avea una, două sau trei dimensiuni și care poate forma un bloc de fire unidimensional, bidimensional sau tridimensional. Acest aspect facilitează un mod natural de a invoca o anumită operație pe elementele unui domeniu cum ar fi un vector sau o matrice.

Datorită presupunerii că toate firele unui bloc de execuție vor aparține aceluiași nucleu al procesorului pe care rulează și sunt nevoite să împartă resursele limitate ale acelui nucleu, există limitări în ceea ce privește numărul de fire de execuție care pot fi conținute de un bloc. Pentru GPU-urile actuale, aceasta limită este de 1024 fire de execuție per bloc. Totuși, un kernel poate fi executat de către mai multe blocuri de fire de execuție având formă similară și astfel numărul total de fire de execuție va fi egal cu numărul de fire dintr-un bloc înmulțit cu numărul total de blocuri.

Un bloc de fire de execuție poate fi organizat ca o grilă unidimensională, bidimensională sau tridimensională, fapt ilustrat în Figura 4.5. Numărul blocurilor de fire de execuție este în general dictat de dimensiunea datelor care trebuie procesate și de numărul de procesoare care fac parte din sistem.

Numărul firelor de execuție dintr-un bloc și numărul de blocuri dintr-o grilă specificate prin sintaxa <<<...>>> pot fi de tip int sau dim3. Fiecare bloc aparținând grilei poate fi identificat de un index unidimensional, bidimensional sau tridimensional, accesibil în interiorul kernel-ului prin variabila blockIdx oferită. De asemenea este posibilă accesarea directă din interiorul kernel-ului a dimensiunii blocului de fire de execuție curent prin variabila blockDim oferită.

Este necesar ca un bloc de fire de execuție să se poată executa în mod independent de celalalte, fie că execuția se face în paralel sau secvențial. Este important ca blocurile de fire să se poată executa în orice ordine. Această caracteristică de independență descrisă permite execuția blocurilor de fire în orice ordine pe mai multe nuclee de procesare ale dispozitivului și astfel permite programatorului să scrie cod scalabil cu numărul de nuclee care variază de la un dispozitiv la altul.

Firele de execuție aparținând unui bloc pot coopera interschimbând date printr-o memorie comună și sincronizându-și execuția pentru a coordona accesele la această memorie. O asemenea sincronizare se poate specifica în interiorul unui kernel apelând funcția

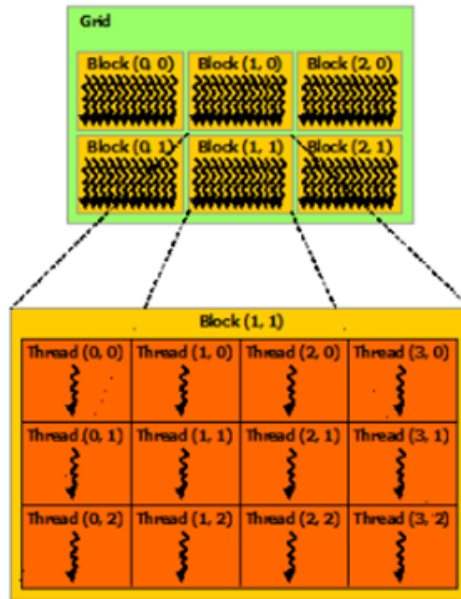


Figura 4.5: Grilă de blocuri de fire de execuție [11]

`_syncthreads()`. Această funcție prezintă comportamentul unei bariere unde toate firele de execuție dintr-un bloc trebuie să aștepte înainte să li se permită să continue. Pentru o cooperare eficientă a execuției firelor din interiorul unui bloc se așteaptă ca zona de memorie comună să aibă o latență scăzută.

4.1.3 Ierarhia de memorie

Firele de execuție CUDA pot accesa date din multiple surse de memorie în timpul execuției lor, fapt ilustrat în Figura 4.6. Fiecare fir are propria memorie locală privată. Fiecare bloc de fire deține o zonă de memorie accesibilă tuturor firelor de execuție pe care le conține. Aceste zone de memorie sunt disponibile doar pe perioada de timp în care se execută blocul de fire de execuție. În plus, toate blocurile de fire au acces la o aceeași zonă de memorie globală. Există de asemenea două zone de memorie adiționale accesibile de către toate firele de execuție, și anume zona constantelor și zona texturilor. Aceste zone sunt persistente între lansări de kernel-uri din interiorul aceleiași aplicații.

În modelul de programare CUDA se presupune că firele de execuție CUDA se vor executa pe un dispozitiv separat care acționează ca un co-procesor pentru procesorul gazdă pe care se rulează programul C. Într-adevăr asta se întâmplă atunci când kernel-urile sunt lansate spre execuție pe dispozitivul GPU iar restul programului se execută pe CPU. Acest mecanism este evidențiat în Figura 4.7.

De asemenea modelul de programare CUDA presupune ca dispozitivul host și dispozitivul ajutător să acceseze zone diferite ale memoriei DRAM, zone ce poartă denumirea de memoria host și memoria dispozitivului.

Zona de memorie a dispozitivului se poate alocă fie ca fiind memorie liniară sau ca

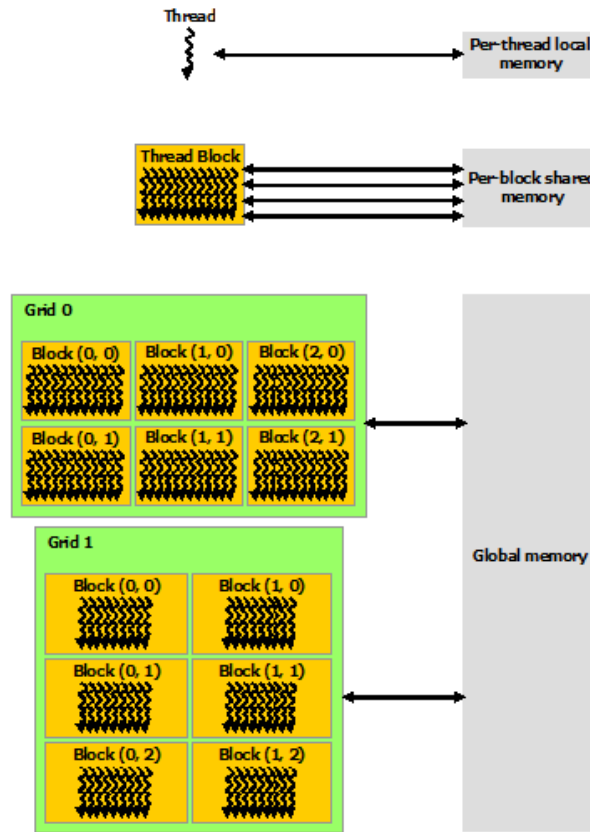


Figura 4.6: Ierarhia de memorie [11]

fiind vectori CUDA. Vectorii CUDA sunt zone de memorie cu un aspect opac optimizate pentru preluarea de texturi.

Memoria liniară este disponibilă pe dispozitiv într-un spațiu de adresare de 40 biți astfel încât entitățile alocate separat pot face referire una la alta folosind pointerii. Memoria liniară se alocă în general folosind funcția `cudaMalloc()` și se eliberează utilizând funcția `cudaFree()`. Transferul de date între dispozitivul gazdă și GPU se face folosind `cudaMemcpy()`.

Din aceste considerente, am ales pentru a accelera calculele folosite pentru antrenarea unei rețele neuronale, ca implementarea să implice și utilizarea unui GPU (produs de NVIDIA). Pentru a putea utiliza capacitatea de calcul a unei unități grafice, aceasta trebuie în primul rând să fie programabilă și să suporte platforma și modelul de programare CUDA.

Printre uneltele puse la dispoziție prin platforma de dezvoltare CUDA folosită se numără și următoarele biblioteci optimizate pentru accelerarea GPU:

- cuFFT – transformate Fourier rapide;
- cuBLAS – subrutine pentru algebra liniară de bază;
- cuSPARSE – rutine pentru operații pe matrici rare;
- cuRAND – generare de numere aleatoare;

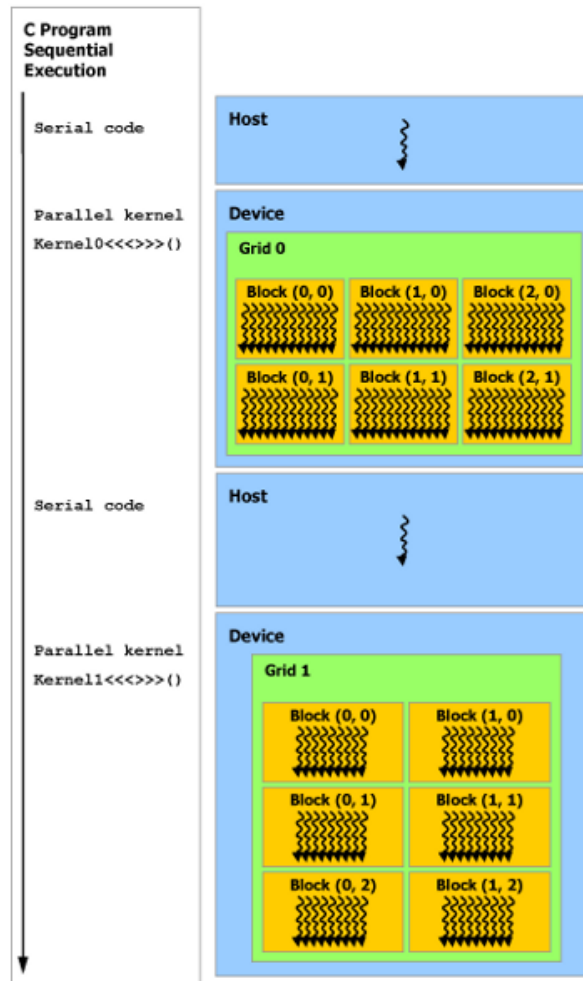


Figura 4.7: Programarea eterogenă [11]

- NPP – primitive pentru procesarea de imagini și video;
- nvGRAPH – bibliotecă pentru analiză grafică NVIDIA;
- bibliotecă pentru operații matematice CUDA.

4.1.4 Biblioteca cuBLAS

CUBLAS este o implementare a BLAS (Basic Linear Algebra Subroutines) având la bază modelul de programare CUDA de la NVIDIA [10]. Prin utilizarea acestei biblioteci se face posibil accesul resurselor computaționale a GPU-urilor NVIDIA. Biblioteca este independentă, adică nu este nevoie de o interacțiune directă cu driver-ul CUDA.

Utilizarea acestei biblioteci în implementarea soluției curente constă în crearea de obiecte de tip matrice și vector în spațiul de memorie al unității grafice, apelarea unor funcții cuBLAS pe datele respective și, în final, transferul rezultatelor de pe GPU înapoi în zona de memorie generală de lucru. Aceste acțiuni sunt posibile datorită existenței unor funcții ajutătoare în biblioteca cuBLAS, care se folosesc pentru alocarea de memorie, pentru scrierea de date în zona de memorie alocată, pentru transferul de date între GPU

și CPU, iar în final ștergerea datelor din spațiul de memorie al GPU atunci când nu se mai folosesc informațiile respective.

Întrucât funcțiile de bază ale acestei biblioteci (spre deosebire de funcțiile ajutoare menționate) nu returnează în mod direct un cod de eroare atunci când este cazul, s-a implementat o funcție specializată în acest sens care poate prelua ultima eroare înregistrată. Acest aspect este important pentru modul de depanare al aplicației dezvoltate.

Accelerarea calculelor folosind această bibliotecă este ilustrată în Figura 4.8. Compararea se face între modelul GPU NVIDIA Tesla K40M folosind cuBLAS și procesorul de uz general Intel IvyBridge single socket 12 -core E5-2697 v2 @ 2.70GHz folosind biblioteca echivalentă MKL (Math Kernel Library) de la Intel. Se observă că numărul de operații în virgulă flotantă pe secundă este considerabil mai mare cu implementarea cuBLAS.

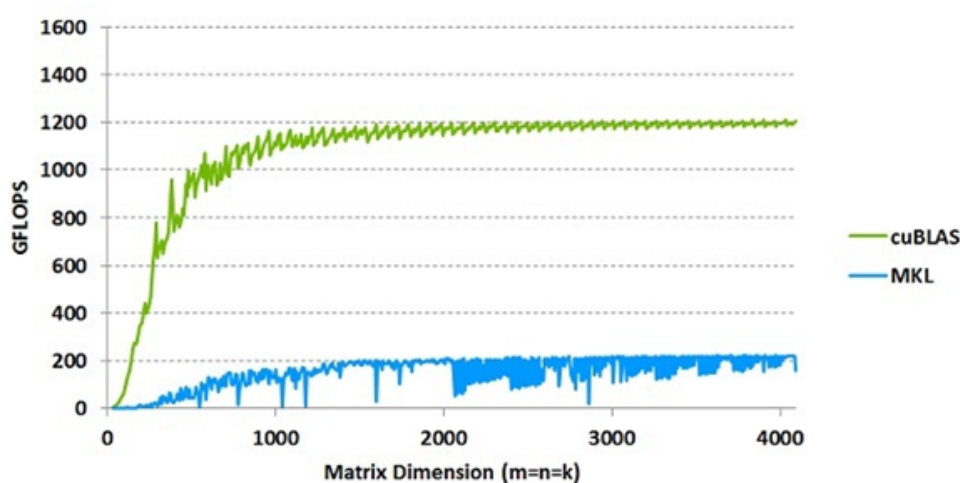


Figura 4.8: Accelerarea calculelor folosind biblioteca cuBLAS [10]

În implementarea cuBLAS se definește un singur tip de date, și anume tipul `cublasStatus_t`. Acest tip este folosit pentru aflarea stării după ce se apelează o funcție din această bibliotecă. În cazul funcțiilor de bază care nu returnează starea finală, acest parametru se poate afla apelând `cublasGetError()` care va returna ultima stare înregistrată.

4.1.5 Biblioteca cuComplex

Biblioteca `cuComplex` oferă sprijin în utilizarea numerelor complexe la dezvoltarea unei soluții în limbajul de programare C. În această bibliotecă se găsesc implementări pentru subrutine de bază care descriu operațiile întâlnite în rezolvarea unei probleme având ca date numere complexe. Un număr complex este astfel reprezentat printr-un tip de date abstract având două componente. Prin aceste componente se pot memora/accesa în mod natural cele două părți ale unui număr complex: partea reală și partea imaginară. Cele două componente ale numerelor complexe se reprezintă prin numere reale, care în cazul de față pot fi de tipul simplă precizie (`float`) sau dublă precizie (`double`). Astfel se pot crea două tipuri de numere complexe, și anume tipul `cuFloatComplex` și respectiv tipul

de date cuDoubleComplex. Componentele primului tip – cuFloatComplex vor fi numere reale de tip float cu simplă precizie, iar pentru structura cuDoubleComplex sunt utilizate două câmpuri de tip double, adică având dublă precizie. Pentru fiecare din aceste tipuri se pun la dispoziție câte un set de funcții ce vor primi ca parametru/parametri unul din tipurile de date descris anterior. În general și valoarea returnată va fi de același tip cu cel al parametrilor funcției apelate.

Operațiile puse la dispoziție de biblioteca cuComplex sunt des utilizate în cadrul soluției curente. Sunt apelate funcții pentru a crea variabile de tip complex, pentru efectuarea operațiilor aritmetice între aceste variabile și în declararea unor structuri de date mai complexe utilizate în rezolvarea problemei. Pentru a putea accesa componentele variabilei de tip complex, se folosesc câmpurile care definesc acest tip notate cu x respectiv y. Prin câmpul x se accesează partea reală a numărului complex iar prin câmpul y partea imaginară a acestuia.

Alternativ se poate apela una din funcțiile următoare:

```
__host__ __device__ static __inline__ double cuCreal(cuDoubleComplex x)
__host__ __device__ static __inline__ double cuCimag(cuDoubleComplex x)
```

dacă se utilizează tipurile de date cu dublă precizie, respectiv:

```
__host__ __device__ static __inline__ float cuCrealf(cuFloatComplex x)
__host__ __device__ static __inline__ float cuCimagf(cuFloatComplex x)
```

Antetul acestor funcții sugerează faptul că pot fi apelate atât din secvențele de cod care vor fi eventual executate de un procesor de uz general(host) cât și de către procesorul grafic(device). Fiind denumite sugestiv, nu este necesar ca dezvoltatorii să cunoască și câmpurile structurii tipului complex. Funcțiile prezentate anterior vor returna o valoare reală reprezentând partea reală a unui număr complex respectiv partea imaginară a acestuia.

Pentru construirea unui număr complex se pun la dispoziție funcțiile:

```
__host__ __device__ static __inline__ cuFloatComplex
    make_cuFloatComplex(float r, float i)
__host__ __device__ static __inline__ cuDoubleComplex
    make_cuDoubleComplex(double r, double i)
```

Utilitatea acestora constă în declararea automată a unei variabile de tip complex, setarea câmpurilor acesteia prin inițializarea cu valorile date ca parametru și returnarea unei referințe către noua variabilă creată. Din antetul acestor funcții se observă de asemenea contextul din care pot fi apelate: host și device.

Funcțiile puse la dispoziție pentru operații aritmetice sunt:

- cuCadd – pentru adunarea a două numere complexe

- cuCsub – calculează diferența dintre două numere complexe
- cuCmul – returnează rezultatul înmulțirii parametrilor dați ca intrare
- cuCdiv – pentru raport
- cuCabs – returnează modulul numărului dat ca parametru de intrare.

4.2 Soluția propusă

Implementarea aplicației s-a realizat folosind mediul de dezvoltare Visual Studio oferit de Microsoft. Acesta permite instalarea extensiei CUDA oferită de NVIDIA. Versiunea folosită pentru dezvoltare este CUDA 6.5.

Programul este format din partea principală și funcții ajutătoare. În prima parte sunt declarate structurile de date specializate prin care se inițializează și apoi se accesează parametrii de antrenare ai rețelei. Acestea sunt prezentate succint în cele ce urmează.

Structura de date numită options va memora în câmpurile sale câteva opțiuni generale de care se va ține cont în antrenarea rețelei.

```
typedef struct {
    int alpha;
    int batchsize;
    int numepochs;
} options;
```

În câmpul alpha se memorează rata de învățare care se aplică în timpul antrenării. Prin intermediul valorii următorului câmp, batchsize, se specifică dimensiunea unui lot de antrenare. Un lot se obține din setul de hărți de intrare iar dimensiunea lotului reprezintă numărul de hărți de intrare pe care se efectuează o epocă de antrenare la un moment-dat. În cel de-al treilea câmp, numepochs, se memorează numărul de epoci de antrenare care vor fi efectuate pentru fiecare set de hărți de intrare.

Prin intermediul structurii complexMatr se vor memora valorile complexe pe care se vor efectua majoritatea operațiilor presupuse de antrenarea rețelei.

```
typedef struct {
    cuDoubleComplex *mat;
    int msize, nsize;
} complexMatr;
```

Câmpul mat reprezintă vectorul unde se stochează valorile complexe. Acesta va fi interpretat însă ca fiind o matrice cu valori complexe. Această interpretare se face prin intermediul câmpurilor msize și nsize în care sunt memorate dimensiunile matricei. Se poate observa că valorile reale care compun fiecare număr complex, adică partea reală și partea imaginară a acestuia cât și rezultatul operațiilor care se efectuează pe aceste numere au precizie dublă, caracteristică dată de utilizarea tipului cuDoubleComplex.

Necesitatea formatării în acest mod a datelor din fiecare matrice complexă provine de la formatul zonelor de memorie care se vor aloca pe GPU. Acestea vor fi tot sub forma unor vectori interpretați ca matrici bidimensionale cunoscând dimensiunile acestora.

Utilizând această structurare a datelor, se definesc în continuare două tipuri compuse ce reprezintă interfațarea cu parametrii și valori intermediare interne ale rețelei. Mai precis aceasta se realizează prin definirea structurilor `network` și `layer`.

Structura ce poartă denumirea `network` va memora detalii referitoare la fiecare strat al rețelei și valori de interes folosite în antrenarea acesteia.

```
typedef struct{
    layer layers[N_LAYERS + 1];
    cuDoubleComplex *ffb;
    complexMatr ffw;
    complexMatr *fv;
    complexMatr *e;
    complexMatr *o;
    complexMatr *od;
    complexMatr *fvd;
    complexMatr dffw;
    complexMatr dffb;
    double L;
} network;
```

Vectorul `layers` de tip `layer` are ca scop stocarea datelor specifice fiecărui strat al rețelei. Prin urmare acesta se definește folosind elementul de configurare `N_LAYERS` care specifică numărul de straturi setat în configurare. În câmpul `L` se va memora și modifica după fiecare lot de intrare prelucrat eroarea obținută în timpul antrenării, adică diferența dintre rezultatul propus și rezultatul obținut prin prelucrarea datelor de intrare. Această eroare generală se calculează pornind de la vectorul în care se memorează erorile individuale pentru fiecare dintre ieșirile generate, și anume `complexMatr *e`. La rândul lui, acesta conține pe fiecare poziție diferența dintre valoarea rezultatului propus asociat poziției și valoarea generată pentru această ieșire a rețelei.

În câmpul `ffw` se va memora matricea de ponderi prin care se face interconectarea ultimului strat al rețelei cu rezultatele de ieșire asociate. Acesta se adaptează în funcție de `dffw` calculat. În mod asemănător se adaptează și setul de valori bias memorate în `ffb`, cu ajutorul `dffb` calculat.

Stocarea informațiilor particulare fiecărui strat se face într-un vector de tipul `layer`. Acesta este definit având următoarele câmpuri:

```
typedef struct{
    char type;
    int scale;
    int outputmaps;
```



```

    int kernelsize;
    complexMatr **a;
    complexMatr *k;
    cuDoubleComplex *b;
    complexMatr **d;
    complexMatr *dk;
    cuDoubleComplex *db;
} layer;

```

Detaliile specifice fiecărui strat sunt:

- Tipul stratului curent, specificat în câmpul `type`. Acesta poate lua valorile ‘s’ sau ‘c’ dacă stratul este de tip sub-sampling sau de convoluție.
- Scalarea care se produce pe straturile de tip sample, memorată în `scale`.
- Numărul hărților de ieșire din strat care se stochează în `outputmaps`.
- Dimensiunea nucleului de convoluție, `kernelsize`. Acesta are valoare atașată doar dacă tipul stratului este de convoluție.
- Hărțile de intrare memorate în câmpul `complexMatr **a`.
- Nucleele de convoluție memorate în `k` dacă tipul stratului este de convoluție.
- Vectorul de bias-uri și vectorul folosit pentru adaptarea acestor valori, `b` respectiv `db`.
- Vectorul de matrici `*dk` care se folosește pentru actualizarea valorilor din nucleele de convoluție.

4.2.1 Funcții și kernel-uri

Pentru o structurare ordonată și lizibilitate sporită, funcționalitatea soluției propuse este împărțită în mai multe module independente (funcții C). Aceste rutine specializate sunt definite pentru a fi utile într-o gamă cât mai largă de aplicații dar în primul rând pentru a fi folosite în cadrul acestei aplicații. Câteva dintre rutinele de bază și funcționalitatea acestora sunt descrise în cele ce urmează.

Operațiile pe matrici cu valori complexe sunt cele mai frecvente din cadrul antrenării rețelei neuronale. Prin urmare se definesc funcții C care efectuează aceste operații cu matrici de valori complexe. Operațiile de bază și cele mai des întâlnite sunt înmulțirea a două matrici și operația de convoluție.

Rezultatul înmulțirii a două matrici se obține prin apelarea funcției:

```

complexMatr mulMatr(complexMatr a, complexMatr b);

```

Valoarea returnată în caz de succes este rezultatul înmulțirii matricilor a și b. În caz de eroare programul își va încheia execuția cu un cod de eroare corespunzător, nefiind posibilă înaintarea în rezolvarea problemei. Funcția `mulMatr` nu efectuează înmulțirea propriu-zisă, ci pregătește datele și execută un kernel care va rula pe GPU. Mai precis, în acest pas se vor alocă zone de memorie din memoria procesorului grafic pentru cele două matrici de intrare dar și pentru rezultat. Zona se alocă în funcție de dimensiunile celor două matrici și prin deducerea dimensiunii matricei rezultat. De asemenea, tot în acest pas se vor transfera valorile complexe conținute în cele două matrici în zona de memorie pusă la dispoziție de GPU. După ce s-a asigurat alocarea corectă a zonelor de memorie, este lansat kernel-ul asociat înmulțirii de matrici, și anume:

```
__global__ void multiplicationKernel(cuDoubleComplex* ad,
                                     cuDoubleComplex* bd, cuDoubleComplex* cd, int m1, int n1, int n2)
```

Pointerii `ad`, `bd` și `cd` indică spre zonele de memorie alocate pe dispozitivul grafic, iar ceilalți parametri furnizează dimensiunile matricilor. Prin apelarea acestui kernel, calculul matricei rezultat se produce pe dispozitivul grafic, sarcina fiind împărțită între mai multe fire de execuție.

Alocarea memoriei pe dispozitivul grafic se face apelând funcția `cudaMalloc`. Aceasta returnează codul specific stării de succes sau în caz contrar eroarea care a provocat eșecul în alocare. Următorul apel este un exemplu de alocare și de verificare a stării returnate:

```
cudaStatus = cudaMalloc(&d_a,
                        a.msize * a.nsize * sizeof(cuDoubleComplex));
if (cudaStatus != cudaSuccess) {...}
```

Transferul datelor între CPU și GPU se face prin apelarea funcției `cudaMemcpy` care primește ca parametri sursa și destinația copierii de date cât și o constantă care specifică dacă se dorește copierea unei zone de memorie a procesorului grafic spre CPU sau dacă destinația este memoria GPU-ului. Un exemplu de apelare al acestei funcții este următorul:

```
cudaMemcpy(d_a, a.mat, a.msize * a.nsize * sizeof(cuDoubleComplex),
           cudaMemcpyHostToDevice);
```

prin care se copiază conținutul matricei `a.mat` spre o zonă de memorie din cadrul dispozitivului grafic spre a putea fi prelucrat.

Lansarea unui kernel de execuție pe dispozitivul grafic se face folosind sintaxa `<<<...>>>` prin care se specifică numărul și dimensiunea blocurilor de fire de execuție, ca în exemplul următor:

```
multiplicationKernel << <grid, block >> >(d_a,
      d_b, d_c, a.msize, a.nsize, result.nsize);
```

În mod asemănător operației de înmulțire a două matrici cu valori complexe, rezultatul operației de convoluție între două matrici se obține prin apelarea funcției:

```
complexMatr convolution(complexMatr a, complexMatr b);
```

Valoarea returnată în caz de succes este rezultatul convoluției matricilor a și b. În caz de eroare programul își va încheia execuția cu un cod de eroare corespunzător, nefiind posibilă înaintarea în rezolvarea problemei. Funcția `convolution` nu efectuează operația propriu-zisă, ci pregătește datele și execută un kernel care va rula pe GPU. Mai precis, în acest pas se vor alocă zone de memorie din memoria procesorului grafic pentru cele două matrici de intrare dar și pentru rezultat. Zona se alocă în funcție de dimensiunile celor două matrici și prin deducerea dimensiunii matricei rezultat. De asemenea, tot în acest pas se vor transfera valorile complexe conținute în cele două matrici în zona de memorie pusă la dispoziție de GPU. După ce s-a asigurat alocarea corectă a zonelor de memorie, este lansat kernel-ul asociat operației de convoluție, și anume:

```
__global__ void convolutionKernel(cuDoubleComplex* ad,  
    cuDoubleComplex* bd, cuDoubleComplex* cd, int ma, int na,  
    int mb, int nb)
```

În același mod au fost adaptate pentru valori complexe cu dublă precizie o mulțime de alte funcționalități, în special pentru operații cu matrici complexe. Printre acestea se numără: transpusa unei matrici, rotirea la 180 de grade, suma și diferența a două matrici, bordarea cu zerouri a unei matrici și funcții pentru generarea matricilor cu valori pseudo-aleatoare utilizate pentru testare.

Pentru citirea datelor de intrare dintr-un fișier extern se utilizează funcția `readInputMatrices` care va returna un tablou de structuri definite pentru memorarea de matrici cu valori complexe:

```
complexMatr* readInputMatrices(char *filename,  
    long nbinputs, int msize, int nsize)
```

Această funcție va primi ca parametri la apelare numele fișierului în care sunt înregistrate valori reale normalizate extrase eventual din setul de imagini dat pentru antrenarea rețelei. În plus, se specifică numărul de matrici ce se dorește extras din fișiere dat prin parametrul `nbinputs` și dimensiunea acestora dată de parametrii `msize` respectiv `nsize`. Fișierul poate fi structurat de exemplu astfel încât să conțină pe fiecare linie `msize*nsize` elemente reprezentând câte o hartă de intrare pe care se va efectua antrenarea.

Valorile extrase în acest mod din fișiere externe vor fi memorate și stocate în structuri ce descriu numerele complexe, inițializându-se partea reală a acestora. Apelul funcției poate returna atât hărțile de intrare cât și ieșirile cu care se vor compara valorile rezultate în urma unei epoci a antrenării. Fiecare dintre acestea vor fi alocate în zona de lucru generală și se pot folosi în pașii de antrenare ca tipuri de matrici pentru operațiile implementate sau pentru a fi copiate în zona de memorie a dispozitivului grafic, urmând a fi procesate de acesta. Stocarea informațiilor din fișiere în structuri ce descriu numerele complexe se face prin apelul funcției:

```
make_cuDoubleComplex(re, im);
```

respectiv

```
make_cuFloatComplex(re, im);
```

în funcție de precizia datelor cu care se lucrează. În cazul unei erori întâmpinate la citirea fișierului extern, de exemplu inexistența acestuia sau lipsa drepturilor de scriere/citire din fișier, execuția programului va fi întreruptă cu un mesaj de eroare corespunzător.

Efectuarea operației de scădere între două matrici cu valori complexe se face prin apelul funcției:

```
complexMatr difMatr(complexMatr a, complexMatr b)
```

Unde parametrii de intrare sunt în ordinea apariției: matricea a reprezintă descăzutul iar al doilea parametru, matricea b reprezintă scăzătorul. Apelul va returna rezultatul operației dacă se execută cu succes și un mesaj de eroare în cazul în care dimensiunile matricilor date ca parametru nu sunt egale. Astfel operația de scădere nu poate fi efectuată iar execuția programului va fi întreruptă. Prin urmare, condițiile acestei funcții sunt: existența în memorie a matricilor date ca parametri de intrare la apelare și potrivirea dimensiunilor acestora. Scăderea propriu-zisă a elementelor matricilor se face apelând funcția specializată din biblioteca cuComplex - cuCsub.

Pentru generarea unei matrici de dimensiuni oarecare conținând numere complexe pseudo-aleatoare se utilizează funcția:

```
complexMatr genRandK(int msize, int nsize)
```

Unde parametrii de intrare msize și nsize setează dimensiunile matricii care se va genera. Apelul va returna o referință către o matrice cu numere complexe generate aleator și se poate utiliza, de exemplu, pentru a inițializa nucleele de convoluție k în pregătirea parametrilor interni ai rețelei.

În mod asemănător, funcția complexMatr genZeroComplexMatrix(int msize, int nsize) se utilizează pentru construirea unei matrici cu numere complexe, în acest caz însă ea va fi inițializată cu zerouri. Se efectuează astfel alocarea matricii având dimensiunile msize, nsize în zona de memorie de lucru și setarea elementelor acesteia la zero.

Pentru extragerea unui subset din cadrul hărților de intrare pentru a putea fi procesat în mod individual se folosește funcția ajutătoare:

```
complexMatr* batchCopy(complexMatr *m, int b, int batchsize)
```

unde parametrii de intrare au următoarea semnificație: m reprezintă toate matricile corespunzătoare intrărilor din care se dorește extragerea unui subset, b reprezintă numărul setului și este în strânsă legătură cu batchsize care specifică dimensiunea setului extras. Astfel dacă se extrag pe rând un număr de subseturi având dimensiunea batchsize, prin

b se memorează practic poziția de început și poziția de sfârșit a subsetului din cadrul setului principal de date prin înmulțirea acestuia cu parametrul batchsize. Acest fapt este evidențiat prin declararea a doua variabile care indică poziția de început al subsetului din cadrul setului principal și respectiv ultima poziție:

```
int firstIndex = b * batchsize;
int lastIndex = (b + 1) * batchsize;
```

Elementele tabloului principal care se află în acest interval vor fi copiate în subset și returnat la apelul acestei funcții.

Efectuarea operației de adunare între două matrici cu valori complexe se face prin apelul funcției:

```
complexMatr sumMatr(complexMatr a, complexMatr b)
```

Unde parametrii de intrare sunt termenii operației de adunare. Apelul va returna rezultatul operației dacă se execută cu succes și un mesaj de eroare în cazul în care dimensiunile matricilor date ca parametru nu sunt egale. Astfel operația de adunare nu poate fi efectuată iar execuția programului va fi întreruptă. Prin urmare, condițiile acestei funcții sunt: existența în memorie a matricilor date ca parametri de intrare la apelare și potrivirea dimensiunilor acestora. Adunarea propriu-zisă a elementelor matricilor se face apelând funcția specializată din biblioteca cuComplex:

```
__host__ __device__ static __ cuDoubleComplex
cuCadd(cuDoubleComplex x, cuDoubleComplex y)
```

Aplicarea funcției sigmoide asupra elementelor unei matrici având valori complexe se face prin apelarea funcției ajutoare:

```
complexMatr sigm(complexMatr a)
```

Unde parametrul de intrare este matricea asupra căreia se dorește aplicarea funcției iar valoarea returnată este o nouă matrice conținând rezultatele aplicării.

Atunci când antrenarea este în stagiul de feed-forward și stratul curent este un strat de tip sample atunci se utilizează funcția downSample pentru a genera o hartă formată din caracteristici esențiale ale hărților de intrare pe stratul respectiv:

```
complexMatr downSample(complexMatr a)
```

Apelul funcției va returna o matrice formată din mostre ale matricei a primite ca parametru de intrare. Rezultatul va avea dimensiunile înjumătățite ale matricei a și astfel se păstrează acele caracteristici ale hărților de intrare care sunt cele mai accentuate. Pentru realizarea acestui aspect s-a considerat ca fiind element al matricei rezultat, valoarea maximă a unui grup de patru elemente din matricea dată ca parametru de intrare. Compararea elementelor se face utilizând funcția de bibliotecă cuCabs care va calcula modulul numărului complex primit ca parametru.

Operația inversă celei efectuate de funcția downSample se întâlnește în stagiul de backpropagation și se face prin apelul funcției ajutoare upSample, având antetul:

```
complexMatr upSample(complexMatr a)
```

Unde matricea returnată va avea dimensiuni duble față de matricea primită ca parametru de intrare, iar fiecare grup de câte patru elemente se determină prin multiplicarea a câte un element din matricea a.

Calculul transpusei unei matrici cu valori complexe se efectuează apelând funcția ajutoare transpose care are următorul antet:

```
complexMatr transpose(complexMatr m)
```

Unde matricea returnată se formează prin transpunerea elementelor matricii date ca parametru, m. Rezultatul va avea aceleași dimensiuni setate de matricea m.

O altă operațiune de interes folosită cu scopul de a pregăti o matrice înaintea aplicării operației de convoluție este bordarea cu zerouri. Aceasta se efectuează prin apelarea funcției:

```
complexMatr border(complexMatr m, int size)
```

care primește ca parametru de intrare matricea m la care se dorește bordarea și o valoare size reprezentând numărul de linii și coloane de zerouri care se vor borda la m. Dimensiunea matricii returnate va fi egală cu suma dintre dimensiunea matricii primite ca parametru m la care se adaugă un număr de size linii și size coloane.

Funcția complexMatr clone(complexMatr m) crează o nouă matrice având elementele identice cu cele ale matricii primite ca parametru, m. Utilitatea acestei funcții constă în crearea unor structuri de date eventual cu caracter temporar asupra cărora se pot produce modificări fără a afecta elementele matricii de la care s-a plecat. Prin apelarea clone se va alocă în memoria de lucru o altă matrice care se poate șterge după utilizare fără a afecta elementele lui m.

Atunci când pentru a efectua o anumită operație pe două matrici (de exemplu convoluția) se dorește aplicarea unei rotiri la una din matricile operanzi, această aplicare se face prin apelul funcției:

```
complexMatr rot180(complexMatr m)
```

unde matricea returnată reprezintă rezultatul rotirii matricii date ca parametru de intrare, m. Noua matrice creată se va șterge după utilizare pentru a nu ocupa inutil spațiul memoriei de lucru iar utilitatea constă în faptul că nu sunt afectate elementele primite ca parametru.

Capitolul 5

Rezultate experimentale

Am testat rețeaua neuronală de convoluție cu valori complexe pe celebra bază de date MNIST, care conține imaginile unor cifre scrise de mână în format alb-negru [25]. Această bază de date a fost construită de către autorii articolului [25] pornind de la bazele de date Special Database 1 și Special Database 3 colectate de către NIST (National Institute of Standards and Technology) din Statele Unite ale Americii. SD-1 conținea 58537 de imagini ale unor cifre scrise de mână de către 500 de scriitori diferiți, care au fost împărțiți 250 în setul de antrenare și 250 în setul de testare. Setul de antrenare a fost completat cu imagini din SD-3, pentru a forma un set de 60000 de tipare de antrenare. În mod similar, setul de testare a fost completat cu tipare până la numărul de 60000, de asemenea. Însă, s-a hotărât să se folosească doar 10000 de tipare de testare (5000 din SD-1 și 5000 din SD-3), dând astfel naștere bazei de date Modified NIST sau MNIST, care a devenit azi standardul în ceea ce privește testarea diferitelor arhitecturi și algoritmi de învățare din domeniul rețelelor neuronale și al învățării automate în general.

Imaginile sunt în format nuanțe de gri, și au 28 de pixeli înălțime și 28 de pixeli lățime. Exemple de tipare de antrenare din această bază de date se pot vedea în Figura 5.1.

În experimentele noastre, am lucrat direct pe baza de date cu cele 60000 de tipare de antrenare și 60000 de tipare de testare, fără a augmenta această bază de date cu deformări ale imaginilor, care s-au dovedit în literatură a îmbunătăți performanța rețelelor neuronale.

Pentru o comparație onestă, am antrenat o rețea neuronală de convoluție cu valori reale care are aceeași parametri și aceeași arhitectură cu rețeaua neuronală de convoluție cu valori complexe. Trebuie precizat faptul că, în experimentele noastre, datele au fost aceleași pentru ambele rețele, fără a încerca transformarea imaginilor în domeniul complex, folosind, de exemplu transformata Fourier. Acest tip de experimente se află printre ideile viitoare de extindere a prezentului proiect.

Astfel, setul de antrenare a fost împărțit în pachete de 25 de imagini, care au fost trecute prin rețea, într-o subiterație a unei epoci. Acest algoritm de învățare poartă denumirea de metoda gradient stochastică, deoarece nu folosește toate datele disponibile în fiecare iterație, ci doar o populație statistică a acestora. Rata de învățare pentru acest algoritm a fost aleasă ca fiind 0.1, aceasta rămânând constantă pe tot parcursul învățării.

Tehnici ca învățarea folosind moment sau scăderea cu un factor a ratei de învățare nu au fost folosite, fiind de asemenea idei de încercat pe viitor.



Figura 5.1: Exemplu de imagini din baza de date MNIST [25]

Arhitectura rețelor pentru care s-au obținut cele mai bune rezultate este după cum urmează:

- un strat de intrare cu un singur canal, de dimensiune 28×28
- un strat de convoluție cu 6 canale, de dimensiune 24×24 , pentru care dimensiunea nucleurilor de convoluție este de 5×5
- un strat de pooling cu 6 canale, de dimensiune 12×12 , dimensiunea vecinătății pe care se face medierea fiind 2
- un strat de convoluție cu 12 canale, de dimensiune 8×8 , pentru care dimensiunea nucleurilor de convoluție este de 5×5
- un strat de pooling cu 12 canale, de dimensiune 4×4 , dimensiunea vecinătății pe care se face medierea fiind 2
- un strat total conectat cu 192 de neuroni ($12 \times 4 \times 4 = 192$)
- un strat de ieșire cu 10 neuroni, câte unul pentru fiecare cifră de la 0 la 9.

Funcția de activare cu cele mai bune performanțe pentru straturile de convoluție și stratul total conectat este funcția sigmoid

$$f(x) = \frac{1}{1 + e^{-x}},$$

pentru rețelele cu valori reale, respectiv funcția sigmoid complexă pe componente (split complex)

$$f(x + iy) = \frac{1}{1 + e^{-x}} + i \frac{1}{1 + e^{-y}},$$

pentru rețelele cu valori complexe. Inițializarea ponderilor s-a făcut în intervalul

$$\left[-\sqrt{\frac{6}{fan_in + fan_out}}, \sqrt{\frac{6}{fan_in + fan_out}} \right],$$

care este recomandată a fi folosită pentru funcția sigmoid, unde fan_in reprezintă numărul de conexiuni care intră într-un strat, și fan_out numărul de conexiuni care ies dintr-un strat. Antrenarea a fost realizată timp de 50 de epoci.

Procesul de antrenare s-a făcut pe un calculator cu procesor Intel Core 2 Quad de 2.24 GHz, 4 GB de memorie RAM și placă video NVIDIA Quadro NVS 290. Aceasta dispune de (doar) 16 nuclee CUDA și o frecvență a procesorului grafic de 460 MHz. Datorită acestui fapt, antrenarea a durat aproximativ patru zile. Pe viitor, în măsura în care va fi disponibil un calculator cu o placă video superioară ca performanțe, se vor putea face mai multe experimente și cu arhitecturi mai complicate de rețele neuronale.

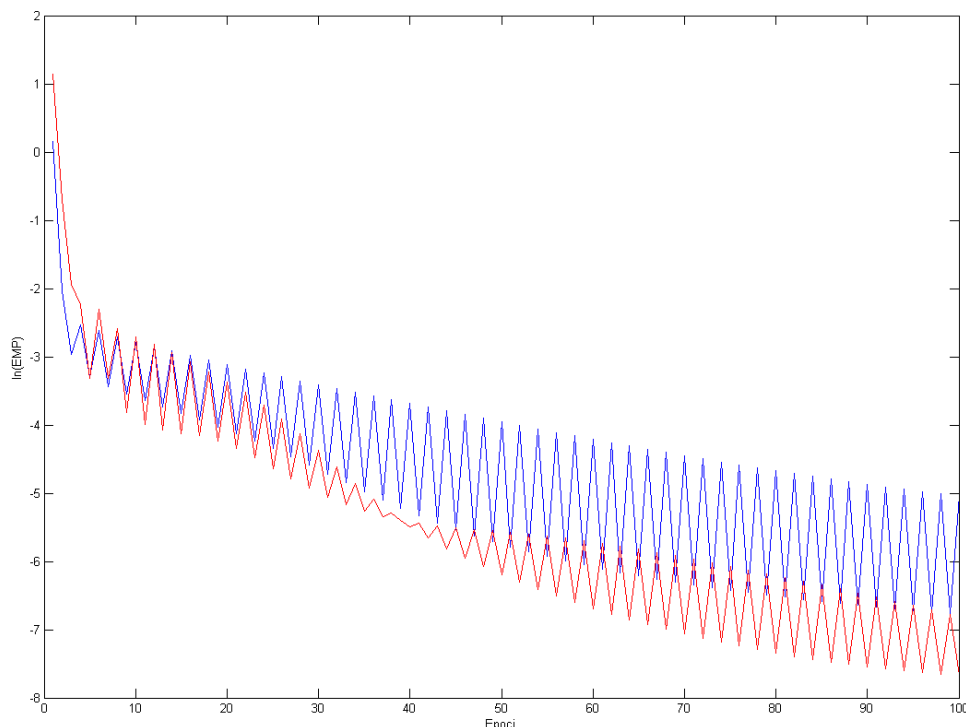


Figura 5.2: Dinamica învățării

Dinamica învățării este prezentată în Figura 5.2, în care cu albastru apare logaritmul natural din eroarea medie pătratică a rețelei cu valori reale, și cu roșu apare logaritmul

natural din eroarea medie pătratică a rețelei cu valori complexe, măsurată la fiecare jumătate de epocă, în decursul celor 50 de epoci, o epocă fiind considerată după ce toate tiparele de antrenare au fost prezentate rețelei.

În aceste condiții, eroarea pentru setul de testare conținând 10000 de imagini a fost de **1.22%**, adică **122** de imagini greșit clasificate, pentru rețeaua cu valori reale, respectiv de **0.9%**, adică **90** de imagini greșit clasificate pentru rețeaua cu valori complexe. Având în vedere că state of the art-ul la ora actuală pe această bază de date este **0.23%**, obținut cu ansamble de rețele de convoluție foarte adânci și cu augmentarea cu până la 10 ori a setului de antrenare folosind deformări, cu până la 11 straturi efective (13 straturi în total), rețelele neuronale cu valori complexe au obținut rezultate promițătoare, care vor trebui extinse pe viitor și pentru acest tip de rețele foarte adânci, pentru a vedea care este comportamentul rețelor cu valori complexe în aceste cazuri.

O altă observație care se poate face este aceea că rețelele cu valori reale și cu valori complexe „greșesc” în locuri diferite, ceea ce ar putea sugera că un ansamblu hibrid, format atât din rețele cu valori reale, cât și din rețele cu valori complexe, ar putea avea rezultate mai bune decât ambele tipuri de rețele omogene. Astfel, se constată că cele două rețele clasifică ambele greșit doar **62** de imagini, ceea ce înseamnă o eroare de **0.62%**, o valoare foarte apropiată de state of the art, mai ales în condițiile în care cele două rețele au o arhitectură relativ simplă.

Capitolul 6

Concluzii

Implementarea rețelei neuronale de convoluție cu valori complexe folosind capabilitatea de calculul paralel a procesoarelor grafice a făcut posibilă efectuarea unei comparații între o rețea neuronală cu valori complexe și o rețea neuronală cu valori reale. În plus, aplicarea convoluției având cele mai bune rezultate la ora actuală în domeniul procesării și a recunoașterii de imagini, a făcut posibilă o accelerare a antrenării rețelei neuronale. Utilizarea procesoarelor grafice pentru calcul paralel a rezultat în reducerea timpilor de antrenare.

Astfel se poate evita pierderea unor informații esențiale ale imaginilor procesate în cazul în care acestea sunt date de către instrumentele de măsurare direct în formă complexă, mulțumită dependențelor care pot apărea în domeniul complex.

Experimente pe cunoscuta bază de date MNIST au arătat că eroarea unei rețele neuronale de convoluție cu valori complexe este de 0.9% pe când cea a unei rețele de convoluție cu valori reale cu arhitectură identică și antrenată în același fel, a fost de 1.22%. S-a constatat, de asemenea, că eroarea „comună” a celor două rețele este de doar 0.62%, ceea ce înseamnă că modele hibride vor putea avea performanțe care să depășească performanțele individuale ale rețelelor cu valori reale și ale rețelor cu valori complexe, luate separat.

În ceea ce privește posibilele direcții de evoluție viitoare, se poate în primul rând experimenta prin modificări ale arhitecturii rețelei. Pentru testele curente s-a folosit o arhitectură relativ simplă din lipsa unui dispozitiv GPU performant dintr-o generație mai recentă. O altă optimizare ar putea fi considerată implementând tehnici de învățare mai performante cum ar fi învățarea folosind moment sau scăderea cu un factor a ratei de învățare. De asemenea o idee care poate fi aplicată în viitor o reprezintă augmentarea bazei de date pe care s-a testat rețeaua cu deformări ale imaginilor. În literatura de specialitate s-a dovedit că această acțiune sporește performanțele rețelelor neuronale. Un alt tip de idee în ceea ce privește experimentul este transformarea imaginilor în domeniul complex, folosind de exemplu transformata Fourier pentru a realiza acest lucru.

Bibliografie

- [1] N.N. Aizenberg, Y.L. Ivaskiv, and D.A. Pospelov. A certain generalization of threshold functions. *Doklady Akademii Nauk SSSR*, 196:1287 – 1290, 1971.
- [2] E. Angiuli, F. Del Frate, B. Polsinelli, and D. Solimini. Towards complex-valued neural algorithms for forest parameters estimation from polinsar data. In *IEEE International Geoscience and Remote Sensing Symposium, IGARSS*, volume II, pages 641 – 644. IEEE, July 2008.
- [3] M. Arjovsky, A. Shah, and Y. Bengio. Unitary evolution recurrent neural networks. In *International Conference on Learning Representations*, 2016.
- [4] P. Baldi and Z. Lu. Complex-valued autoencoders. *Neural Networks*, 33:136 – 147, 2012.
- [5] Y. Bengio. Learning deep architectures for ai. *Foundations and Trends in Machine Learning*, 2(1):1 – 127, 2009.
- [6] Y. Bengio, Y. LeCun, and G. Hinton. Deep learning. *Nature*, 521:436 – 444, 2015.
- [7] N. Benvenuto and F. Piazza. On the complex backpropagation algorithm. *IEEE Transactions on Signal Processing*, 40(4):967 – 969, April 1992.
- [8] J. Bruna and S. Mallat. Invariant scattering convolution networks. *IEEE Transactions on Pattern Analysis and Machine Intelligence*, 35(8):1872 – 1886, 2013.
- [9] A. Chaturvedi, R. Sharma, D. Wadekar, A. Bhandwalkar, and S. Shitole. Adaptive parametric estimator for complex valued images. In *International Conference on Technologies for Sustainable Development (ICTSD)*, 2015.
- [10] NVIDIA Corporation. cuBLAS Documentation, <http://docs.nvidia.com/cuda/cublas/>, 2015.
- [11] NVIDIA Corporation. CUDA C Programming Guide, <http://docs.nvidia.com/cuda/cuda-c-programming-guide/>, 2015.
- [12] P. Eichel and R.W. Ives. Compression of complex-valued sar images. *IEEE Transactions on Image Processing*, 8(10):1483 – 1487, 1999.

- [13] G.M. Georgiou and C. Koutsougeras. Complex domain backpropagation. *IEEE Transactions on Circuits and Systems II: Analog and Digital Signal Processing*, 39(5):330 – 334, May 1992.
- [14] I. Goodfellow, Y. Bengio, and A. Courville. *Deep Learning*. MIT Press, 2016.
- [15] R. Hansch and O. Hellwich. Classification of polarimetric sar data by complex valued neural networks. In *ISPRS Workshop*, 2009.
- [16] R. Hansch and O. Hellwich. Complex-valued convolutional neural networks for object detection in polsar data. In *European Conference on Synthetic Aperture Radar (EUSAR)*, 2010.
- [17] T. Hara and A. Hirose. Plastic mine detecting radar system using complex-valued self-organizing map that deals with multiple-frequency interferometric images. *Neural Networks*, 17(8 - 9):1201 – 1210, October - November 2004.
- [18] L. Hernandez-Garcia, A.L. Vazquez, and D.B. Rowe. Complex-valued analysis of arterial spin labeling based fmri signals. *Magnetic Resonance in Medicine*, 62(6):1597 – 1608, 2009.
- [19] A. Hirose. Continuous complex-valued back-propagation learning. *Electronics Letters*, 28(20):1854 – 1855, September 1992.
- [20] A. Hirose. *Complex-Valued Neural Networks: Advances and Applications*. John Wiley & Sons, Inc., 2013.
- [21] Y. Hui and M.R. Smith. Mri reconstruction from truncated data using a complex domain backpropagation neural network. In *Pacific Rim Conference on Communications, Computers, and Signal Processing (PACRIM)*, 1995.
- [22] V. Laparra, M.U. Gutmann, J. Malo, and A. Hyvarinen. Complex-valued independent component analysis of natural images. In *International Conference on Artificial Neural Networks (ICANN)*, 2011.
- [23] Y. LeCun and Y. Bengio. *Convolutional networks for images, speech, and time series*, pages 255 – 258. MIT Press, 1995.
- [24] Y. LeCun, B. Boser, J. S. Denker, D. Henderson, R. E. Howard, W. Hubbard, and L. D. Jackel. Handwritten digit recognition with a back-propagation network. In *Advances in Neural Information Processing Systems (NIPS)*, 1989.
- [25] Y. LeCun, L. Bottou, Y. Bengio, and P. Haffner. Gradient-based learning applied to document recognition. *Proceedings of the IEEE*, 86(11):2278 – 2324, 1998.
- [26] Y. LeCun, K. Kavukcuoglu, and C. Farabet. Convolutional networks and applications in vision. In *International Symposium on Circuits and Systems (ISCAS)*, 2010.

- [27] H. Leung and S. Haykin. The complex backpropagation algorithm. *IEEE Transactions on Signal Processing*, 39(9):2101 – 2104, September 1991.
- [28] H. Li, N.M. Correa, P.A. Rodriguez, V.D. Calhoun, and T. Adali. Application of independent component analysis with adaptive density model to complex-valued fmri data. *IEEE Transactions on Biomedical Engineering*, 58(10):2794 – 2803, 2011.
- [29] S. Masuyama, K. Yasuda, and A. Hirose. Multiple-mode selection of walled-ltsa array elements for high-resolution imaging to visualize antipersonnel plastic landmines. *IEEE Geoscience and Remote Sensing Letters*, 5(4):745 – 749, October 2008.
- [30] T. Nitta. Solving the xor problem and the detection of symmetry using a single complex-valued neuron. *Neural Networks*, 16(8):1101 – 1105, October 2003.
- [31] A. Pande and V. Goel. Complex-valued neural network in image recognition a study on the effectiveness of radial basis function. *World Academy of Science, Engineering and Technology*, 20:220 – 225, 2007.
- [32] D.P. Reichert and T. Serre. Neuronal synchrony in complex-valued deep networks. In *International Conference on Learning Representations*, 2014.
- [33] P.A. Rodriguez, N.M. Correa, T. Adali, and V.D. Calhoun. Quality map thresholding for de-noising of complex-valued fmri data and its application to ica of fmri. In *International Workshop on Machine Learning for Signal Processing*, 2009.
- [34] S. Samadi, M. Cetin, and M.A. Masnadi-Shirazi. Sparse signal representation for complex-valued imaging. In *Digital Signal Processing Workshop and Signal Processing Education Workshop (DSP/SPE)*, pages 365 – 370, 2009.
- [35] A.M. Sarroff, V. Shepardson, and M.A. Casey. Learning representations using complex-valued nets. In *International Conference on Learning Representations*, 2016.
- [36] J. Schmidhuber. Deep learning in neural networks: An overview. *Neural Networks*, 61:85 – 117, 2015.
- [37] A.B. Suksmono and A. Hirose. Interferometric sar image restoration using monte carlo metropolis method. *IEEE Transactions on Signal Processing*, 50(2):290 – 298, 2002.
- [38] M. Tygert, J. Bruna, S. Chintala, Y. LeCun, S. Piantino, and A. Szlam. A mathematical motivation for complex-valued convolutional networks. *Neural Computation*, 28(5):815 – 825, May 2016.
- [39] A. Waibel, T. Hanazawa, G. Hinton, K. Shikano, and K.J. Lang. Phoneme recognition using time-delay neural networks. *IEEE Transactions on Acoustics, Speech, and Signal Processing*, 37(3):328 – 339, 1989.

- [40] B. Widrow, J. McCool, and M. Ball. The complex lms algorithm. *Proceedings of the IEEE*, 63(4):719 – 720, April 1975.
- [41] C.-C. Yang and N.K. Bose. Landmine detection and classification with complex-valued hybrid neural network using scattering parameters dataset. *IEEE Transactions on Neural Networks*, 16(3):743 – 753, May 2005.
- [42] D. Yu and L. Deng. *Automatic Speech Recognition: A Deep Learning Approach*. Springer, 2015.
- [43] M.-C. Yu, Q.-H. Lina, L.-D. Kuang, X.-F. Gong, F. Cong, and V.D. Calhoun. Ica of full complex-valued fmri data using phase information of spatial maps. *Journal of Neuroscience Methods*, 249:75 – 91, 2015.